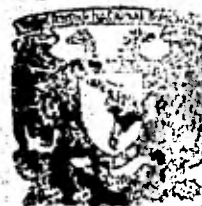




Universidad Nacional Autónoma de México

FACULTAD DE QUIMICA

**METODO ANALITICO PARA CALCULAR LA CAIDA DE
PRESION EN UN SISTEMA NO ISOTERMICO**



EXAMENES PROFESIONALES
FAC. DE QUIMICA

TESIS PROFESIONAL

Que para obtener el Título de
INGENIERO QUIMICO

presenta

LUIS H. DE J. ESPINOSA BECERRA

1 9 8 2



Universidad Nacional
Autónoma de México



UNAM – Dirección General de Bibliotecas
Tesis Digitales
Restricciones de uso

DERECHOS RESERVADOS ©
PROHIBIDA SU REPRODUCCIÓN TOTAL O PARCIAL

Todo el material contenido en esta tesis esta protegido por la Ley Federal del Derecho de Autor (LFDA) de los Estados Unidos Mexicanos (México).

El uso de imágenes, fragmentos de videos, y demás material que sea objeto de protección de los derechos de autor, será exclusivamente para fines educativos e informativos y deberá citar la fuente donde la obtuvo mencionando el autor o autores. Cualquier uso distinto como el lucro, reproducción, edición o modificación, será perseguido y sancionado por el respectivo titular de los Derechos de Autor.

C O N T E N I D O

- I. INTRODUCCION
- II. ANALISIS Y PLANTEAMIENTO GENERAL DEL SISTEMA
- II.1 Balance de Energía Mecánica
 - II.1.1 Pérdidas de Energía por Fricción
 - II.2 Determinación del Perfil de Temperatura
 - II.2.1 Balance de Calor en un Elemento de Volumen
 - II.3 Coeficientes de Transferencia de Calor
 - II.3.1 Coeficientes Individuales de Película
 - II.4 Ecuaciones Generales para Evaluar la Caída de Presión en el Sistema Considerado
 - II.4.1 Caída de Presión en Flujo Laminar
 - II.4.2 Caída de Presión en Flujo Turbulento
- III. CALCULO DE LA CAIDA DE PRESION POR FRICCIÓN
- III.1 Manejo de Crudos Pesados o Fracciones de Petróleo a Flujo Laminar
 - III.1.1 Evaluación de la Integral
$$\int_{T_0}^{T_1} \frac{e^{AT-B}}{T - T_a} dT$$
 - III.2 Manejo de Fracciones de Petróleo a Flujo Turbulento

IV. COMPROBACION DEL METODO

- IV.1 La función $g(T)$ puede representar se como serie de Taylor convergente
 - IV.1.1 Obtención de las derivadas de $f(T)$
 - IV.1.2 Obtención de las derivadas de $h(T)$
 - IV.1.3 Obtención de las derivadas de $g(T)$
- IV.2 La Función de Ajuste en Flujo Laminar, $F(T)$, es adecuada
- IV.3 La Función de Ajuste en Flujo Turbulento, $W(T)$, es adecuada

V. EJEMPLOS DE APLICACION

- V.1 Cálculo de la caída de presión por fricción en flujo laminar
 - V.1.1 Solución por el Método Analítico
 - V.1.2 Solución por el Método Gráfico
 - V.1.3 Solución sumando ΔP_f por segmentos
- V.2 Cálculo de la Caída de Presión por Fricción en Flujo Turbulento
 - V.2.1 Problema en el cual la Viscosidad es mayor de 10 centistokes
 - V.2.2 Problema en el cual la Viscosidad está en el rango de 4 a 10 centistokes

CONCLUSIONES

APENDICE

REFERENCIAS BIBLIOGRAFICAS

I. I N T R O D U C C I O N

Ocasionalmente, existe la necesidad de transportar líquidos viscosos en ductos circulares. La Ingeniería Química puede definirse como: "...la aplicación de los principios de las ciencias físicas, junto con los principios de la economía y relaciones humanas, a campos pertinentes directamente a procesos y equipo de proceso en los cuales la materia es tratada para efectuar un cambio en su estado, contenido de energía o composición...." (Ref. 11). Esta vaga definición es intencionalmente amplia e indefinida por ser así el ámbito de aplicación de la Ingeniería Química. Generalmente, los procesos requieren que se transporte la materia de un lugar a otro; por lo cual corresponde al Ingeniero Químico efectuar el cálculo y diseño de los equipos involucrados en el flujo de fluidos.

El transporte de líquidos de alta viscosidad involucra pérdidas de energía por fricción que generalmente -- son muy grandes. En estas condiciones serían necesarias -- instalaciones de bombeo de alta capacidad, lo cual implicaría una inversión inicial elevada, y así mismo altos costos de operación.

Por lo tanto, es deseable disminuir las pérdidas de energía por fricción, y una forma de lograrlo es reducir la viscosidad del líquido mediante calentamiento, -- considerando las limitantes que el caso particular tenga, como podría ser el punto de inflamación del líquido.

Un sistema que transporte un fluido viscoso a temperatura mayor que la ambiente, disipará calor, con la -- subsecuente disminución de la temperatura del fluido. Esto a su vez da como resultado un aumento en la viscosidad que generalmente es de varias veces la viscosidad inicial. En estas condiciones el uso de la temperatura promedio o de la viscosidad promedio para calcular la caída de presión, da un error cuya magnitud dependerá de las características del sistema en cuestión pero que generalmente es grande.

Una alternativa de solución a este problema es -- subdividir la línea de transporte en pequeños segmentos -- para los cuales sea válido usar condiciones promedio para el cálculo de la caída de presión en ese segmento. De esta manera sumando la caída de presión de todos los segmentos se puede obtener la caída de presión en toda la línea. Este método es particularmente aplicable si se dispone de una computadora de mediana capacidad, dado que involucra -- un gran número de cálculos.

Otra manera de obtener la caída de presión en un sistema del tipo considerado es aplicar el método gráfico descrito por Lothholz (Ref. 1), el cual será presentado posteriormente.

El propósito de este trabajo es el de desarrollar un método analítico que permita el cálculo de la caída de presión en un sistema que transporte líquidos viscosos con calentamiento inicial. Al contar con tal método analítico, es posible calcular la caída de presión usando una calculadora de bolsillo, y además se preveen aplicaciones en diseño y optimización de este tipo de sistemas.

Dado que la aplicación más común del transporte de fluidos viscosos con calentamiento inicial es en el manejo de crudos o fracciones de petróleo, el desarrollo del método estará enfocado a resolver este problema.

II. ANALISIS Y PLANTEAMIENTO GENERAL DEL SISTEMA

En general, el sistema que se estudiará es una tubería que transporta un líquido que ha sido calentado al inicio de la línea de transporte.

II.1 BALANCE DE ENERGIA MECANICA

Para el sistema considerado, el balance total de energía mecánica tomando como base 1 lb. de fluido transportado puede expresarse en forma diferencial de la siguiente manera (Ref. 2):

$$\frac{g}{g_c} dZ + v dP + \frac{VidVi}{g_c} = dW_m - dFr$$

en donde:

- g = aceleración gravitacional local; ft./((seg.)(seg.)
 g_c = factor de conversión; 32.17 ft.-lb. masa/(seg.)
(seg.) (lb. fuerza)

NOTA: Por ser de uso común en la literatura disponible, en este trabajo se usarán unidades del Sistema -- Inglés.

- Z = distancia vertical por encima de un plano de referencia arbitrariamente escogido; ft.
 v = volumen específico del fluido; ft. cub./lb. masa.
 P = presión absoluta, lb. fuerza/ft. cuad.
 V_i = velocidad puntual lineal del fluido; ft./seg.).
 W_m = trabajo mecánico impartido al fluido por una fuente externa al sistema; ft.lb. fuerza/lb. masa.
 Fr = pérdida de energía mecánica debida a fricción; ft.-lb. fuerza/lb. masa.

La integración del balance de energía mecánica entre el "punto 1", donde el fluido entra al sistema y el "punto 2", donde el fluido sale del sistema da:

$$z_1 \frac{g}{gc} - \int_1^2 v \, dP + \frac{V_1^2}{2\alpha gc} + W_m = z_2 \frac{g}{gc} + \frac{V_2^2}{2\alpha gc} + \Sigma Fr$$

en donde V es la velocidad lineal promedio, ft./seg.), y α es el coeficiente de corrección requerido para compensar el uso de la velocidad promedio. Si el flujo es turbulento $\alpha = 1.0$, y si el flujo es laminar el valor usual para $\alpha = 0.5$.

En el caso de fluidos incompresibles, el término $\int_1^2 v \, dP$ se puede evaluar fácilmente, ya que como el volumen específico v permanece esencialmente constante la integral definida se reduce a $v (P_2 - P_1)$. Por lo tanto, para un

fluido incompresible:

$$W_m = \Delta Z \frac{g}{g_c} + \Delta \left(\frac{V^2}{2 \alpha g_c} \right) + v (P_2 - P_1) + \Sigma Fr \quad (1)$$

Los tres primeros términos del miembro derecho de la ecuación (1) generalmente se pueden evaluar fácilmente a partir de las características de configuración del sistema, sin embargo para un sistema como el que estamos considerando, la evaluación de la energía perdida por fricción, ΣFr , requiere de un análisis detallado.

II.1.1 Pérdidas de Energía por Fricción

En un sistema de flujo de fluidos, los efectos de la fricción son extremadamente importantes, dado que en muchos casos la fricción puede ser la principal resistencia que se oponga al flujo de un fluido a través de un sistema; tal es el caso del sistema que estamos considerando.

El efecto de fricción es el resultado de la resistencia interna que opone el fluido a deformarse inelásticamente cuando se le aplica una fuerza, esto es, a fluir. Considerando un sistema en estado estable con flujo totalmente desarrollado; en un ducto circular se presenta un gradien-

te de velocidad, $\frac{dV}{dy}$, a lo largo de la sección transversal del ducto. Para mantener este gradiente de velocidad es necesario aplicar un esfuerzo cortante, τ (fuerza/área transversal al gradiente de velocidad), pues de lo contrario el fluido eventualmente alcanzará el estado de reposo.

En un fluido newtoniano el esfuerzo cortante necesario es directamente proporcional al gradiente de velocidad,

$$\tau = \mu \frac{dV}{dy}, \quad (2)$$

en donde la constante de proporcionalidad μ se conoce como la viscosidad del fluido.

Las dimensiones del esfuerzo τ en la ecuación (2) son: fuerza/área; que se pueden escribir como: (masa) (velocidad)/(tiempo) (área), o sea momentum/tiempo-área; es decir, un flux de momentum. Desde este punto de vista, la resistencia al flujo se puede considerar como la mayor o menor facilidad de transferir momentum.

Lo anterior se puede visualizar si consideramos el fluido constituido por capas con diferentes velocidades. Si se transfiere una molécula de una capa de fluido con una velocidad lineal neta (en el sentido del flujo) a otra capa de fluido de menor velocidad, al chocar esta molécula con

una de menor velocidad le transfiere momentum, aumentando su velocidad. El caso contrario tendría el efecto de retardar la velocidad de la capa más rápida. El efecto neto de este fenómeno es el de transferir momentum en dirección paralela, y es necesaria una cierta fuerza/unidad de área para mantener este gradiente de velocidad.

La viscosidad es una propiedad que depende solamente del estado (presión, temperatura y composición) del fluido. Aunque en la descripción precedente de transferencia de momentum se consideraron capas de fluido, es decir, flujo laminar; la ecuación (2) es válida para flujo turbulento tomando en cuenta la velocidad instantánea en un punto dado, aún cuando ésta sea función del tiempo; después de todo, la viscosidad es una propiedad del fluido.

Un método empírico de correlacionar fenómenos observados es mediante el uso de ecuaciones fenomenológicas, que en general tienen la forma:

$$\text{flux} = (\text{difusividad}) (\text{gradiente de concentración}) \quad (3)$$

En el caso de transferencia de momentum, como ya se ha indicado, el esfuerzo τ lo podemos considerar como un flux de momentum. Si se multiplica y divide el miembro derecho de la ecuación (2) por la densidad ρ , obtenemos:

$$\tau = \frac{\mu}{\rho} \frac{d(\rho V)}{d y} = \nu \left(- \frac{d \left(\frac{m V}{v} \right)}{d y} \right) \quad (4)$$

Ya que (mV/v) representa concentración de momentum, podemos considerar a $\frac{\mu}{\rho} = \nu$ como el coeficiente de difusividad de momentum, el cual se conoce comunmente como viscosidad cinemática y tiene dimensiones de área/tiempo (Ref. 3).

Por todo lo anteriormente expuesto, no es difícil comprender por qué cuando un fluido fluye en un ducto, las pérdidas de energía por fricción dependen de las siguientes variables:

- μ = viscosidad del fluido
- ρ = densidad del fluido
- V = velocidad media del fluido
- D_i = diámetro interno del ducto
- L = longitud del ducto
- ϵ = rugosidad de la pared interna del ducto.

Aplicando el método de análisis dimensional a estas variables, puede obtenerse la expresión conocida como la ecuación de Fanning, la cual permite evaluar las pérdidas de energía por fricción:

$$dFr = \frac{dPf}{\rho} = \frac{2 fr V^2 d L}{gc Di} \quad (5)$$

El factor de fricción fr se obtiene experimentalmente, y se ha encontrado que su valor es función del número de Reynolds y de la rugosidad relativa de la tubería (ϵ/D). Cuando el flujo es laminar (número de Reynolds menor de 2100), el factor de fricción es independiente de la rugosidad relativa. Sin embargo, en general y para una rugosidad relativa dada, se puede expresar el factor de fricción en función del número de Reynolds (Re) mediante una ecuación de la forma:

$$fr = \frac{m}{(Re)^n} \quad (6)$$

en donde m y n son constantes positivas.

Algunas expresiones para el factor de fricción son las siguientes: (Ref. 2)

Para número de Reynolds menor de 2100:

$$fr = \frac{16}{Re} \quad (7)$$

de Reynolds mayor de 2100:

Para tubo liso: $fr = \frac{0.046}{(Re)^{0.2}}$ (8)
 ($\epsilon=0.000005$ ft.)

Para tubo de fierro o acero:
 ($\epsilon=0.00015$ ft.) $fr = \frac{0.04}{(Re)^{0.16}}$ (9)

Ya que el número de Reynolds se expresa como:

$$Re = \frac{D_i V \rho}{\mu} \quad (10)$$

o también:

$$Re = \frac{D_i V}{\nu} \quad (11)$$

De la ecuación (6) se deduce que el factor de fricción es función de la viscosidad cinemática. Siendo a su vez la viscosidad cinemática función de la temperatura, el factor de fricción depende de la temperatura.

En el sistema que estamos considerando la temperatura varía a lo largo de la tubería, y para poder evaluar el factor de fricción en un punto dado es necesario conocer la temperatura en ese punto. A continuación se determinará el perfil de temperaturas para la línea de transporte.

II.2 DETERMINACION DEL PERFIL DE TEMPERATURA

Para obtener la temperatura del fluido como función de la distancia, se hará un balance de calor en un elemento de volumen para después integrarse este balance sobre toda la longitud de la tubería.

II.2.1 Balance de Calor en un Elemento de Volumen

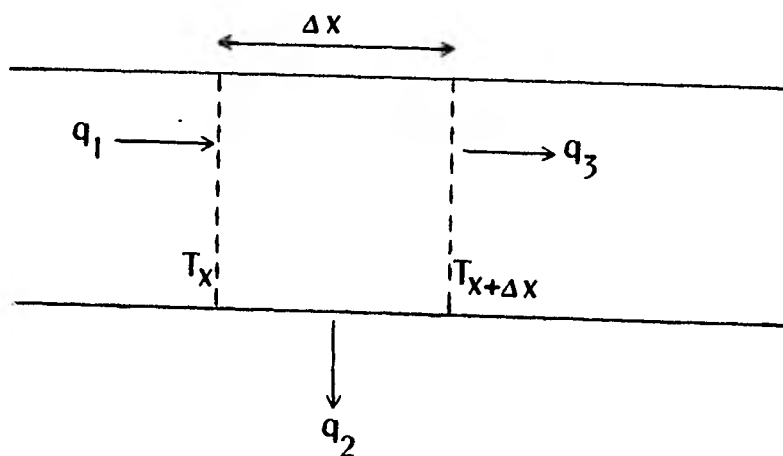


FIGURA 1

Con referencia a la figura 1, el balance de calor para el elemento de volumen se puede expresar como:

$$q_2 = q_1 - q_3 \quad (12)$$

en donde:

- q_1 = velocidad de transferencia de calor por flujo del fluido hacia el elemento de volumen.
- q_2 = velocidad de transferencia de calor que sale del elemento de volumen por convección y radiación.
- q_3 = velocidad de transferencia de calor por flujo del fluido fuera del elemento de volumen.

Es decir, el calor que se disipa a los alrededores es igual a la diferencia del calor que entra al elemento por flujo del fluido menos el calor que sale por flujo del fluido.

La diferencia $q_1 - q_3$ se obtiene:

$$q_1 - q_3 = (Mf) (Cp) (Tx - Tx + \Delta x) \quad (13)$$

en donde:

- Mf = flujo de masa; lb./hr.
- Cp = capacidad calórica; BTU/(lb.) (°F)
- X = distancia a partir del extremo caliente de la línea; ft.

$T_x =$ temperatura en el punto X; °F

$T_{x+\Delta x} =$ temperatura en el punto X + ΔX ; °F.

Ya que el volumen generado por unidad de tiempo puede expresarse en función de la velocidad lineal media del fluido como:

$$v' = S V, \quad (14)$$

siendo

$S =$ área transversal interna; ft^2

$V =$ velocidad lineal media; ft/hr.

$v' =$ volumen; $\text{ft}^3/\text{hr.}$

y además tenemos:

$$\begin{aligned} Mf &= \rho v' \\ S &= \pi \frac{D_i^2}{4} \end{aligned} ,$$

$$q_1 - q_3 = \frac{\pi}{4} \rho D_i^2 V C_p (T_x - T_{x+\Delta x}) \quad (15)$$

Por otra parte, el calor disipado q_2 , puede obtenerse por:

$$q_2 = U_e S_e (\bar{T} - T_a) \quad (16)$$

en donde:

U_e = coeficiente total de transferencia de calor referido a la superficie externa del ducto; BTU/(hr.) - (ft.cuad.) ($^{\circ}$ F).

Se = superficie externa del ducto en el elemento considerado; ft.²

\bar{T} = temperatura media en el elemento de volumen; $^{\circ}$ F

T_a = temperatura ambiente; $^{\circ}$ F.

El área externa de la tubería es:

$$Se = \pi De \Delta X \quad (17)$$

siendo

De = diámetro externo del ducto.

Por lo tanto:

$$q_2 = U_e \pi De \Delta X (\bar{T} - T_a) \quad (18)$$

Sustituyendo las ecuaciones (15) y (18) en la ecuación (12) obtenemos:

$$U_e \pi De \Delta X (\bar{T} - T_a) = \frac{\pi}{4} \rho Di^2 V C_p (T_x - T_{x+\Delta x})$$

Para un elemento diferencial de volumen, es decir, al tender $\Delta X \rightarrow 0$, obtenemos:

$$\pi U_e De (T - T_a) dx = \frac{\pi}{4} \rho Di^2 V C_p (-dT) \quad (19)$$

Rearreglando y separando variables:

$$\frac{-4U_e D_e}{\rho D_i^2 V C_p} dx = \frac{dT}{T - T_a} \quad (20)$$

Integrando entre límites para una distancia X dada:

$$\frac{-4U_e D_e}{\rho D_i^2 V C_p} \int_0^X dx = \int_{T_0}^{T_x} \frac{dt}{T - T_a} \quad (21)$$

$$\frac{-4U_e D_e}{\rho D_i^2 V C_p} (X) = \ln (T_x - T_a) - \ln (T_0 - T_a)$$

Elevando e a cada uno de los miembros de la ecuación anterior, obtenemos:

$$\frac{T_x - T_a}{T_0 - T_a} = e^{-(4U_e D_e / D_i^2 V C_p)(X)} \quad (22)$$

$$T_x = e^{-(4U_e D_e / D_i^2 V C_p)(X)} (T_0 - T_a) + T_a \quad (23)$$

La ecuación (23) nos proporciona la temperatura del fluido en cualquier punto de la línea.

La ecuación (21) nos muestra que la integración se-

realizó asumiendo un valor singular del coeficiente total de transferencia de calor U_e . Esto es razonable y se considera una manera práctica y precisa de cálculo como se verá posteriormente. Así mismo, aunque la densidad y la capacidad calórica varían con la temperatura, el producto ρC_p se mantiene prácticamente constante así como la velocidad media V .

II.3 COEFICIENTES DE TRANSFERENCIA DE CALOR

Para llevar a cabo el transporte de crudos o fracciones pesadas de petróleo, generalmente la tubería que las maneja se entierra sin o con algún recubrimiento aislante. Cuando no se entierra la tubería, es práctica común aislarla con materiales como espuma de poliuretano.

En el caso de tuberías enterradas, que es el caso que estamos considerando, las pérdidas de calor son controladas por las condiciones del suelo, y/o por las características del aislante; por lo tanto, no es necesario generalmente, considerar las variaciones del coeficiente individual de película debidas a cambios de temperatura.

Sin embargo, en el desarrollo de las ecuaciones generales del sistema se considerará la contribución del coeficiente individual de película del lado del líquido h_L , pa

ra mostrar con mayor claridad lo antes dicho.

II.3.1 Coeficientes Individuales de Película

- 1).- El coeficiente h_L se puede obtener, para régimen laminar por (Ref. 4):

$$h_L = \frac{K_o}{D_i} (1.86) (Re Pr D_i)^{1/3} \quad (24)$$

donde:

K_o = conductividad térmica del líquido

$$Re = \frac{D_i \rho V}{\mu}$$

$$Pr = \frac{C_p \mu}{K_o}$$

$$\text{El producto } Re Pr = \frac{D_i V \rho C_p}{K_o}$$

y la ecuación (24) queda:

$$h_L = \frac{K_o}{D_i} (1.86) \left(\frac{D_i^2 V C_p \rho}{K_o} \right)^{1/3} \quad (25)$$

- 2).- Para régimen turbulento, Re mayor de 2100; el coeficiente h_L se puede obtener por (Ref. 4):

$$h_L = \left(\frac{K_o}{D_i} \right) (0.023) (Re)^{0.8} (Pr)^{0.4} \quad (26)$$

Haciendo la misma consideración anterior, el producto:

$$(Re)^{0.8} (Pr)^{0.4} = \frac{(Di V \rho)^{0.8}}{\mu^{0.8}} \frac{(Cp)^{0.4} (\mu)^{0.4}}{Ko^{0.4}}$$

$$(Re)^{0.8} (Pr)^{0.4} = \left(\frac{Di V^{0.8} \rho^{0.8} Cp^{0.4}}{Ko^{0.4}} \right) (\mu)^{-0.4} \quad (27)$$

Podemos observar en este caso que:

$$hL = (\text{constante}) (\mu)^{-0.4} \quad (28)$$

ya que las demás variables permanecen aproximadamente constantes.

II.3.2 Coeficientes Totales de Transferencia de Calor

1).- Para el caso de una tubería enterrada sin aislante:

$$\frac{1}{U} = \frac{1}{hL} + \frac{\epsilon}{KM} + \frac{P}{KT} \quad (29)$$

en donde:

- ϵ = espesor del ducto
- KM = conductividad térmica del ducto
- P = profundidad a la que se entierra el ducto

KT = conductividad térmica del suelo.

Es posible evaluar cada uno de los términos del miembro derecho de la ecuación (29) por medios experimentales para aplicarlos a un suelo y una situación particular; sin embargo, en el presente trabajo consideramos algunos coeficientes totales de transferencia de calor publicados (Ref. 1) y que se muestran en la tabla 1.

T A B L A 1

SUELO	PROFUNDIDAD	CONDICION	U
Arenoso	2ft.	Seco	0.25 a 0.40
Arenoso	2ft.	Húmedo	0.50 a 0.60
Arenoso	2ft.	Mojado	1.1 a 1.3
Arenoso	8in.	Seco	0.60 a 0.70
Arenoso	8in.	Húmedo	1.20 a 2.40
Lodoso	2ft.	Seco	0.20 a 0.30
Lodoso	2ft.	Húmedo	0.40 a 0.50
Lodoso	2ft.	Mojado	0.60 a 0.90

En la anterior tabla se consideran los valores de U en BTU/(hr.)(sq.ft.) (°F), para tubería sin recubrimiento. Los valores dados en la tabla se reducen un 15% si la tubería se recubriera con 0.5 in. de asfalto, y si la profundi-

dad aumentara a 3 ft. el coeficiente correspondiente a 2 ft. de profundidad se reduciría de 15% a 20%.

Unicamente para ilustrar la pequeña contribución de hL al valor del coeficiente total de transferencia de calor U , consideremos el siguiente caso de una tubería enterrada en suelo arcilloso húmedo:

Propiedades del fluido:

a 170°F	a 100°F
$K_o = 0.068$	$K_o = 0.0695 \text{ BTU/hr. (ft.)}^2$ (°F/ft.)
$C_p = 0.45 \text{ BTU/lb. (°F)}$	$C_p = 0.425 \text{ BTU/lb. (°F)}$
$\rho = 56.78 \text{ lb/ft}^3$	$\rho = 59.28 \text{ lb/ft}^3$
$\nu = 82.7 \text{ cstk.}$	$\nu = 707 \text{ cstk.}$

De acuerdo a la ecuación (25)

$$hL \text{ a } 170^\circ\text{F} = 91.5855$$

$$hL \text{ a } 100^\circ\text{F} = 90.4942$$

Considerando el valor a 100°F

$$\frac{1}{90.4942} = 0.01105$$

$$U = 0.40 \quad ; \quad \frac{1}{U} = 2.50$$

La contribución de hL al valor de

$$U \text{ es } \frac{0.01105}{2.50} \times 100 = 0.4\%$$

Es evidente que tanto la variación de hL de un extremo caliente al frío, así como la contribución al valor de U son despreciables, por lo que se justifica usar un valor singular de U .

2).- Para una tubería bien aislada, (Ref.4)

$$U = \frac{1}{\frac{R}{K_i} \ln \frac{D_2}{D_1} + \frac{1}{hL}} \quad (30)$$

en donde:

- R = radio interno de la tubería
- K_i = conductividad térmica del material aislante
- D_2 = diámetro externo del aislamiento
- D_1 = diámetro interno del aislamiento
- hL = coeficiente individual de película.

En este caso, si la tubería está bien aislada, la contribución de hL al valor de U también es despreciable y se puede usar un valor singular de U conociendo las propiedades del material aislante, y un valor promedio de hL .

II.4 ECUACIONES GENERALES PARA EVALUAR LA CAIDA DE PRESION EN EL SISTEMA CONSIDERADO

De la ecuación (5) de Fanning obtenemos:

$$-d P_f = \frac{2 \rho}{g_c} \frac{f_r V^2}{D_i} dL \quad (31)$$

II.4.1 Caída de presión en flujo laminar

En flujo laminar, $Re < 2100$,

$$f_r = \frac{16}{Re} = \frac{16 \nu}{VD_i}$$

Sustituyendo en la ecuación (31):

$$-dP_f = \frac{2 \rho V^2}{g_c} \frac{16 \nu}{VD_i^2} dL = \frac{32 \rho V}{g_c Di^2} \nu dL \quad (32)$$

Integrando hasta un L dado:

$$- \Delta P_f = \int_0^L \frac{32 \rho V}{g_c Di^2} \nu dL$$

$$- \Delta P_f = \frac{32 \rho V}{g_c Di^2} \int_0^L \nu dL \quad (33)$$

Por otra parte, del balance de calor para un elemeno

to de volumen, tenemos de la ecuación (20):

$$dL = - \frac{\rho D_i^2 V C_p}{4 U_e D_e} \frac{dT}{T - T_a} \quad (34)$$

Si agrupamos como:

$$M = \frac{32 \rho V}{g_c D_i^2}$$

$$N = - \frac{\rho D_i^2 V C_p}{4 U_e D_e}$$

y substitufmos la diferencial de longitud de la ecuación (34) en la ecuación (33) tenemos:

$$- \Delta P_f = M \int_0^L \nu dL = M \int_0^L \nu N \frac{dT}{T - T_a}$$

$$- \Delta P_f = MN \int_0^L \nu \frac{dT}{T - T_a} \quad (35)$$

$$- \Delta P_f = MN \int_{T_0}^{T_1} \nu \frac{dT}{T - T_a} \quad (36)$$

Por lo tanto, si se puede expresar ν en función de T , el problema de evaluar la caída de presión se reduce-

al de evaluar la integral $\int_{T_0}^{T_1} \nu \frac{dT}{T - T_a}$

II.4.2 Caída de Presión en Flujo Turbulento

En flujo turbulento, $Re > 2100$,

$$f_r = \frac{m}{(Re)^n}$$

donde m y n son constantes positivas que dependen de la rugosidad de la pared interna del ducto.

Por lo tanto, para este caso, la ecuación (31) quedaría:

$$-dP_f = \frac{2 \rho_m V^2 \nu^n}{g_c V^n D_i^{n+1}} dL \quad (37)$$

Integrando y sustituyendo dL en función de dt como en el caso anterior:

$$-\Delta P_f = \frac{2 \rho_m V^{(2-n)}}{g_c D_i^{n+1}} (N) \int_{T_0}^{T_1} \nu^n \frac{dT}{T - T_a} \quad (38)$$

Por lo tanto, a régimen turbulento la evaluación de la caída de presión en el sistema considerado se reduce a - evaluar la integral:

$$\int_{T_0}^{T_1} \gamma^n \frac{dT}{T - T_a}$$

III. CALCULO DE LA CAIDA DE PRE- SION POR FRICCION

En este capítulo se desarrollará el método analítico para calcular la caída de presión por fricción.

III.1 MANEJO DE CRUDOS PESADOS O FRACCIONES DE PETROLEO - A FLUJO LAMINAR

La ecuación (36) del capítulo anterior:

$$\Delta P_f = MN \int_{T_o}^{T_1} \frac{\lambda dT}{T - T_a}$$

requiere que se disponga de una relación funcional entre la viscosidad cinemática y la temperatura.

Para el caso específico de productos líquidos del petróleo, "The American Society for Testing Materials", -- ASTM, proporciona un método Standard que relaciona temperatura con viscosidad cinemática. Este método es el ASTM - D-341-77 (Ref. 5), y en su edición de 1980 se proporcionan

en el apéndice XI las relaciones matemáticas utilizadas.

Para el rango de 2×10^7 a 2.0 cstk. y temperaturas en el rango -70°C a $+370^\circ\text{C}$, se proporciona la siguiente relación:

$$\ln \ln (\nu + 0.7) = A_1 - B \ln T \quad (39)$$

en donde:

ν = viscosidad cinemática en centistokes

T = temperatura absoluta en $^\circ\text{R}$ o $^\circ\text{K}$

A_1 y B son constantes positivas.

El método D-341-77 proporciona las gráficas adecuadas para relacionar datos viscosidad-temperatura. Se incluyen copias de estas gráficas.

Para expresar explícitamente ν , elevamos e a cada uno de los miembros de la ecuación (39):

$$\begin{aligned} e^{\ln \ln (\nu + 0.7)} &= e^{A_1 - B \ln T} \\ \ln (\nu + 0.7) &= e^{A_1} e^{\ln T^{-B}} \\ \ln (\nu + 0.7) &= e^{A_1} T^{-B} \end{aligned} \quad (40)$$

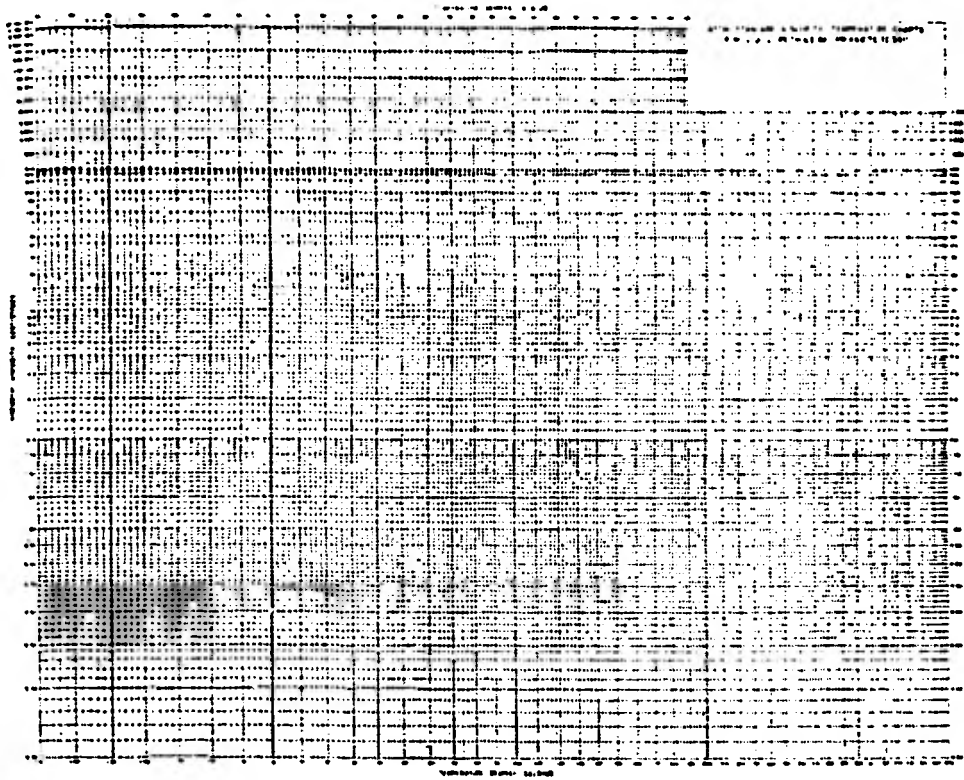
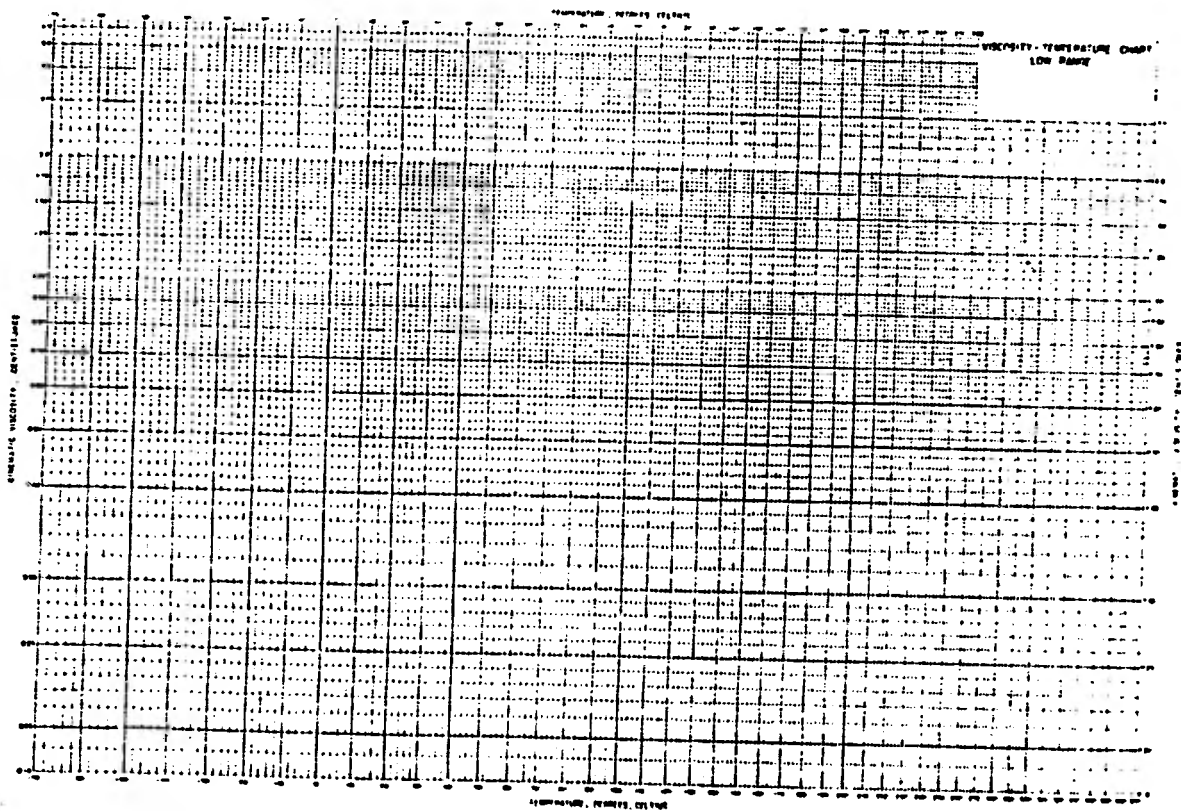


FIG. 1 Facsimile of Kinematic Viscosity-Temperature Chart I High Range (Temperature in degrees Celsius)



4870 D 3491

FIG. 2 Facsimile of Kinematic Viscosity-Temperature Chart II Low Range (Temperature in degrees Celsius)

Si $A = e^{A_1}$, y elevando nuevamente e a cada uno de los miembros de la ecuación (40):

$$e^{\ln(\nu+0.7)} = e^{AT^{-B}}$$

$$(\nu + 0.7) = e^{AT^{-B}}$$

$$\nu = e^{AT^{-B}} - 0.7 \quad (41)$$

Para una fracción de petróleo dada se pueden obtener experimentalmente dos juegos de datos temperatura-viscosidad. Con los dos pares de datos es posible obtener los valores de A y B , en la ecuación (41), que caracterizarán la curva viscosidad-temperatura para ese líquido en particular. Esto lo obtenemos:

Si a T_1 corresponde ν_1

a T_2 corresponde ν_2

$$K = \ln \ln (\nu + 0.7)$$

$$L = \ln T$$

$$K_1 = A_1 - B L_1 \quad (42)$$

$$K_2 = A_1 - B L_2 \quad (43)$$

$$\text{De (42): } A_1 = K_1 + B L_1$$

Sustituyendo en (43):

$$K_1 + B L_1 = K_2 + B L_2 \quad (44)$$

$$B (L_1 - L_2) = K_2 - K_1$$

$$B = \frac{K_2 - K_1}{L_1 - L_2} \quad (45)$$

o también:

$$B = \frac{\ln \ln (P_2 + 0.7) - \ln \ln (P_1 + 0.7)}{\ln T_1 - \ln T_2} \quad (46)$$

Una vez obtenido B, obtenemos:

$$A_1 = \ln \ln (P_1 + 0.7) + B \ln T_1 \quad (47)$$

Habiendo obtenido A_1 , tenemos que:

$$A = e^{A_1} \quad (48)$$

Sustituyendo la ecuación (41) en la integral de la ecuación (36) nos da la integral:

$$(49) \quad \int_{T_0}^{T_1} \frac{P}{T - T_a} dT = \int_{T_0}^{T_1} \frac{e^{AT-B}}{T - T_a} dT - \int_{T_0}^{T_1} \frac{0.7 dT}{T - T_a}$$

Ahora, nuestro problema se reduce a evaluar:

$$\int_{T_0}^{T_1} \frac{e^{AT-B}}{T - T_a} dT \quad (50)$$

III.1.1 Evaluación de la integral $\int_{T_0}^{T_1} \frac{e^{AT-B}}{T - T_a} dT$

La integral $\int \frac{e^{AT-B}}{T - T_a} dT$ no es una integral elemental y no puede ser evaluada por las técnicas normales de integración.

Ante esta situación generalmente existen las alternativas de:

- 1).- Utilizar métodos numéricos de integración, la cual no se consideró en el presente trabajo pues su propósito es encontrar un método analítico.
- 2).- Aplicar alguna transformada integral. Para esta alternativa, se pensó en aplicar la transformada de Laplace a la función a integrar haciendo uso del teorema de traslación:

$$\mathcal{L} \left[e^{at} (f(t)) \right] = F(s - a) \quad (51)$$

y del teorema de integración para la transformada de Laplace:

$$\mathcal{L}\left(\int_0^t f(t) dT\right) = \frac{1}{s} \mathcal{L}(f(t)) \quad (52)$$

Es decir, si consideramos $t = T^{-B}$;
 $T = t^{-1/B}$ y la función a integrar la podríamos expresar (50) como:

$$\int \frac{e^{At} t^{(1/B - 1)}}{(-B) (t^C - Ta)} dt ; \text{ es decir}$$

$f(t)$ en la ecuación (51) sería:

$$f(t) = \frac{t^{(+ 1/B - 1)}}{(-B) (t^C - Ta)}$$

Sin embargo, la transformada

$$\mathcal{L}\left(\frac{t^{(1/B - 1)}}{(-B) (t^{-1/B} - Ta)}\right) \quad \text{resulta sumamente-}$$

compleja, involucrando funciones de Bessel, por lo que su utilidad práctica no es factible.

3).- Otra alternativa para evaluar la integral (50) es la de representar la función

$$(53) \quad g = \frac{e^{AT^{-B}}}{(T - Ta)}, \text{ como una serie infinita.}$$

De las diferentes expansiones en serie posibles se optó por representar la función en serie de Taylor.

A continuación, se expone el teorema de Taylor en su forma general:

Si X = variable independiente
 X_0 = un valor específico de X
 Y = una función analítica de X .

Teorema de Taylor.- Sea $y(x)$ continua en el intervalo I que contiene X y X_0 , tal que tenga derivada n -ésima en X y derivada $n+1$ continua en todo punto interior de I . - Entonces:

$$\begin{aligned}
 y(X) = & y(X_0) + y_1 \frac{y_1(X_0)}{1} (X-X_0) + \frac{y_2(X_0)}{1 \cdot 2} (X-X_0)^2 \\
 & + \frac{y_3(X_0)}{1 \cdot 2 \cdot 3} (X-X_0)^3 + \dots + \frac{y_n(X_0)}{1 \cdot 2 \cdot 3 \dots n} (X-X_0)^n \\
 & + R_{n+1}(X) \dots \dots \dots \quad (54)
 \end{aligned}$$

En la anterior ecuación, la notación $y_n(X_0)$ denota la derivada n -ésima de y evaluada en X_0 ; y $R_{n+1}(X)$ representa el resto de los términos de la serie.

En general, una serie de Taylor puede ser convergen

te o divergente. La serie es convergente si el resto $R_{n+1}(X)$ tiende a cero al tender $n \rightarrow \infty$; ésto a su vez depende del comportamiento de $y_n(X_0) \frac{(X - X_0)^n}{n!}$ para una función $y(X)$ y un $(X - X_0)$ dados. Es decir, existe un radio de convergencia del valor $(X - X_0)$ fuera del cual la serie es divergente y no representa la función $y(X)$.

Para el caso de la función que nos interesa:

$g = \frac{e^{AT-B}}{(T - T_a)}$, es posible trabajar dentro del radio de convergencia, lo cual asumiremos en el subsecuente desarrollo y posteriormente se verificará en el capítulo IV.

De acuerdo a la ecuación (54) podemos representar la función

$g = \frac{e^{AT-B}}{(T - T_a)}$ como una serie de Taylor; ecuación (55):

$$g(T) = g_0(T_y) + \frac{g_1(T_y)(T-T_y)}{1!} + \dots + \frac{g_n(T_y)(T-T_y)^n}{n!} + R_S$$

en donde:

T_y = algún valor de temperatura dentro del radio de convergencia de la serie.

$g_n(T_y)$ = la derivada n-ésima de g valuada en T_y .

Dado que estamos asumiendo convergencia de la serie, podemos obtener una representación en serie de $g(T)$ tan exacta como se desee al hacer crecer n .

Si definimos:

$$Z = (T - T_y)$$

$$\frac{dZ}{dT} = 1$$

$$dT = dZ$$

y para simplificar la notación consideramos:

$$g_n = g_n(T_y),$$

podemos escribir la ecuación (55) como:

$$g(T) = g_0 + \frac{g_1 Z}{1!} + \frac{g_2 Z^2}{2!} + \dots + \frac{g_n Z^n}{n!} + R_s \quad (56)$$

Si consideramos que al hacer n suficientemente grande, el resto R_s es despreciable, e integramos ambos miembros de la ecuación (56), tenemos:

$$\int g(T) dT = \int g_0 dz + \int \frac{g_1}{1!} z dz + \dots + \int \frac{g_n z^n}{n!} dz \quad (57)$$

$$\int g(T) dT = \frac{g_0 z}{1} + \frac{g_1}{1!} \frac{z^2}{2} + \dots + \frac{g_n}{n!} \frac{z^{n+1}}{n+1}$$

$$\int g(T) dT = \frac{g_0 z}{1!} + \frac{g_1 z^2}{2!} + \frac{g_2 z^3}{3!} + \dots + \frac{g_n z^{n+1}}{(n+1)!} \quad (58)$$

El miembro derecho de la ecuación (58) nos proporciona el valor numérico de la integral, lo cual sería su ficiente para evaluar ΔP_f , sin embargo, buscaremos una ex presión funcional para $\int g(T) dT$, mediante las subsecuen tes consideraciones.

Si observamos la ecuación (58), podemos advertir que el miembro derecho de ésta tiene la forma de una serie de Taylor a la cual le falta el primer término.

La función que representaría esta serie sería:

$$F(T) = F(T_y) + g_0 z + \frac{g_1 z^2}{2!} + \frac{g_2 z^3}{3!} + \dots + \frac{g_n z^{n+1}}{(n+1)!} \quad (59)$$

y por la ecuación (58) tendríamos:

$$F(T) = F(T_y) + \int g(T) dT \quad (60)$$

$$\int g(T) dT = F(T) - F(T_y) \quad (61)$$

Por otra parte, de la ecuación (59) tenemos que:

$$F_1(T_y) = g_0 \quad (62)$$

$$F_2(T_y) = g_1 \quad (63)$$

$$F_3(T_y) = g_2 \quad (64)$$

Esto significa que para un valor dado de T_y , podemos conocer el valor numérico de las derivadas $F_n(T_y)$, aunque no conozcamos la forma de $F(T)$.

Acerca de la forma funcional de $F(T)$ podemos suponer que contiene una función exponencial del tipo:

$$C e^{aT-b} \quad (65)$$

Esto es razonable, ya que tanto $g(T)$ como $\int g(T) dT$

contienen alguna función exponencial de ese tipo.

Con el objeto de tener una expresión funcional manejable de la integral a evaluar, supondremos que de hecho:

$$F(T) = ce^{aT^{-b}} \quad (66)$$

en donde a , b y c son constantes.

Aunque la ecuación (66) no sea la relación funcional analíticamente exacta de $F(T)$, podemos forzar las constantes a , b y c para que se cumpla que:

$$F_1(T_y) = g_0$$

$$F_2(T_y) = g_1$$

$$F_3(T_y) = g_2$$

Tal como lo requiere la ecuación (59).

Al cumplir las anteriores condiciones esperamos que la ecuación así obtenida nos proporcione un valor muy aproximado al valor verdadero de $F(T)$.

Nuestro siguiente objetivo será el de encontrar los valores numéricos de las constantes a , b y c , tales que cumplan las ecuaciones (62), (63) y (64). Esto lo conseguiremos relacionando la forma funcional de las derivadas de $F(T)$ valuadas en T_y , con sus valores numéricos proporcionados por las ecuaciones (62), (63) y (64). Esto lo haremos de la siguiente manera:

$$F = c e^{aT^{-b}}$$

$$\frac{dF}{dT} = c (-a b T^{-(b+1)}) e^{aT^{-b}}$$

Si definimos:

$$l = b + 1 \tag{67}$$

$$r = -a b T^{-l} \tag{68}$$

$$\frac{dF}{dT} = F_1 = r F \tag{69}$$

A su vez, la primera y segunda derivadas de r serán:

$$\frac{dr}{dT} = a b l (T^{-(l+1)})$$

$$r_1 = a b T^{-l} \frac{l}{T}$$

$$r_1 = -r \frac{l}{T} \quad (70)$$

$$r_2 = -r_1 \frac{l}{T} + r \frac{l}{T^2} = -r_1 \frac{l}{T} + r \frac{l}{T} (T)^{-1}$$

sustituyendo el valor de r , dado por (70), tenemos:

$$r_2 = r \frac{l}{T} \left(\frac{l}{T}\right) + r \frac{l}{T^2}$$

$$r_2 = r \left(\frac{l^2}{T^2} + \frac{l}{T^2}\right) \quad (71)$$

Por otra parte:

$$F_2 = \frac{dF_1}{dT} = \frac{d(rF)}{dT} = r_1 F + r F_1,$$

$$F_2 = -r \frac{l}{T} F + r F_1$$

ya que $F_1 = r F$,

$$F_2 = -F_1 \frac{l}{T} + r F_1 \quad (72)$$

Sustituyendo los valores numéricos de las derivadas de $F(T)$ valuadas en T_y , según las ecuaciones (62) y (63); - tenemos:

$$F_2(T_y) = -F_1(T_y) \frac{l}{T_y} + r_y F_1(T_y)$$

$$g_1 = -g_0 \frac{l}{T_y} + r_y g_0 \quad (73)$$

en donde $r_y = r$, valuada en T_y .

Despejando r_y :

$$r_y = \frac{g_1}{g_0} + \frac{l}{T_y} \quad (74)$$

La tercer derivada de $F(T)$ es:

$$F_3 = \frac{dF_2}{dT} = \frac{d}{dT} (r_1 F + r F_1)$$

$$F_3 = r_2 F + r_1 F_1 + r_1 F_1 + r F_2$$

$$F_3 = r_2 F + 2 r_1 F_1 + r F_2$$

Sustituyendo las ecuaciones (70) y (71) en la ecuación anterior:

$$F_3 = r \left(\frac{l^2 + l}{T^2} \right) F + 2 \left(-r \frac{l}{T} \right) F_1 + r F_2$$

$$F_3 = F_1 \left(\frac{l^2 + l}{T^2} \right) - 2 F_1 r \frac{l}{T} + F_2 r$$

$$F_3 = r \left(F_2 - 2 F_1 \frac{l}{T} \right) + F_1 \left(\frac{l^2 + l}{T^2} \right) \quad (75)$$

La ecuación (75) valuada en T_y es:

$$F_3(T_y) = r_y (F_2(T_y) - 2 F_1(T_y) \frac{l}{T_y}) + F_1(T_y) \left(\frac{l^2 + l}{T_y} \right)$$

y de acuerdo a las ecuaciones (62) y (63):

$$g_2 = r_y (g_1 - 2 g_0 \frac{l}{T_y}) + g_0 \left(\frac{l^2 + l}{T_y} \right) \quad (76)$$

Sustituyendo la ecuación (74) en la ecuación (76) -
tenemos:

$$\begin{aligned} g_2 &= \left(\frac{g_1^2}{g_0} + g_1 \frac{l}{T_y} - 2 g_1 \frac{l}{T_y} - 2 g_0 \frac{l^2}{T_y} \right) + \frac{g_0 l^2}{T_y} \\ &+ g_0 \frac{l}{T_y} \\ g_2 &= \frac{g_1^2}{g_0} - g_1 \frac{l}{T_y} - g_0 \frac{l^2}{T_y} + g_0 \frac{l}{T_y} \end{aligned}$$

multiplicando ambos miembros por T_y^2 :

$$\begin{aligned} T_y^2 g_2 &= T_y^2 \frac{g_1^2}{g_0} - g_1 l T_y - g_0 l^2 + g_0 l \\ T_y^2 g_2 &= - g_0 l^2 + (g_0 - g_1 T_y) l + \frac{g_1^2 T_y^2}{g_0} \\ - g_0 l^2 + (g_0 - g_1 T_y) l + \left(\frac{g_1^2 T_y^2}{g_0} - T_y^2 g_2 \right) &= 0 \quad (77) \end{aligned}$$

La ecuación (77) es una ecuación cuadrática en l .

Por lo tanto, si llamamos:

$$Q = -g_0 \quad (78)$$

$$R = (g_0 - g_1 T_y) \quad (79)$$

$$S = (T_y^2 \left(\frac{g_1^2}{g_0} - g_2 \right)) \quad (80)$$

las raíces de \mathbf{I} las podemos obtener por:

$$\mathbf{I} = \frac{-R \pm (R^2 - 4QS)^{1/2}}{2Q} \quad (81)$$

Ya que conocemos Q, R y S para un T_y dado, podemos calcular \mathbf{I} .

Una vez obtenido \mathbf{I} , se calculan los valores de b, -- a y c como sigue:

$$b = \mathbf{I} - 1.0 \quad (82)$$

Ya que $r_y = - a b T_y^{-(b+1)}$,

$$a = \frac{-r_y T_y^{-(b+1)}}{b} \quad (83)$$

Sustituyendo el valor de r_y de la ecuación (74) en-

la ecuación (83), obtenemos el valor de a:

$$a = - \left(\frac{g_1}{g_0} + \frac{1}{T_y} \right) \frac{T_y^{(b+1)}}{b} \quad (84)$$

ya que: $F_1(T_y) = r_y F(T_y)$,

$$g_0 = r_y c e^{aT_y^{-b}} \quad (86)$$

por lo tanto, despejando c:

$$c = \frac{g_0}{r_y e^{aT_y^{-b}}} \quad (87)$$

Sustituyendo la ecuación (74) en la ecuación (87) - encontramos el valor de c:

$$c = \frac{g_0}{\left(\frac{g_1}{g_0} + \frac{1}{T_y} \right) e^{aT_y^{-b}}} \quad (88)$$

De esta manera, las ecuaciones (82), (84) y (88) -- nos proporcionan los valores de las constantes b, a y c respectivamente, tales que se cumplen las ecuaciones:

$$F_1(T_y) = g_0$$

$$F_2(T_y) = g_1$$

$$F_3(T_y) = g_2$$

Si la forma funcional propuesta para $F(T) = c e^{aT^{-b}}$ es apropiada, la integral de $g(T)dT$ será, según la ecuación (61):

$$\int g(T) dT = c e^{aT^{-b}} - c e^{aT_y^{-b}} \quad (89)$$

La bondad del ajuste representado en la ecuación (89) se verificará en el Capítulo IV. Si este ajuste es bueno, de las ecuaciones (49) y (36) obtenemos la expresión para la caída de presión por fricción en régimen laminar:

$$\Delta P_f = -MN \int_{T_0}^{T_1} \left[c e^{aT^{-b}} - c e^{aT_y^{-b}} - 0.7 \ln (T-T_a) \right]$$

Como $c e^{aT_y^{-b}}$ es una constante, al integrar entre los límites T_0 y T_1 se anula, por lo que ΔP_f queda:

$$\Delta P_f = -MN \int_{T_0}^{T_1} \left[c e^{aT^{-b}} - 0.7 \ln (T-T_a) \right] \quad (90)$$

en donde:

$$M = \frac{32 \rho V_s}{g_c D_i^2} (1.076391 \times 10^{-5}) \quad (91)$$

$$N = \frac{-\rho D_i^2 V C_p}{4U_e D_e} \quad (92)$$

T_0 y T_1 en grandos Rankine

V_s = velocidad en ft./seg.

El factor $(1.076391 \times 10^{-5})$ es el factor de conversión de centistokes a ft.²/seg.; y las unidades de todas las demás variables son las que se dieron en el Capítulo II.

La caída de presión dada por la ecuación (90) estaría en unidades de lb./ft².

Para un sistema en particular, T_1 se deberá evaluar previamente por la ecuación (23).

III.2. Manejo de Fracciones de Petróleo a Flujo Turbulento

Todo el anterior desarrollo se hizo para flujo en régimen laminar. Para flujo turbulento de acuerdo a la ecuación (38), la evaluación de ΔP_f se reduce a evaluar la integral:

$$\int \frac{(\nu)^n}{T - T_a} dT = \int \frac{(e^{AT-B} - 0.7)^n}{T - T_a} dT$$

Para condiciones en las que la viscosidad cinemática sea mayor de 4.0 centistokes, se puede hacer la siguiente aproximación:

$$\int \frac{(\nu)^n}{T - T_a} dT = \int \frac{(e^{AT^{-B}})^n}{(T - T_a)} dT$$

Esta aproximación se comprobará en el capítulo IV.

Ya que:

$$\int \frac{(e^{AT^{-B}})^n}{T - T_a} dT = \int \frac{e^{nAT^{-B}}}{T - T_a} dT$$

Si $A_t = nA$

$$\int \frac{(\nu)^n}{(T - T_a)} dT = \int \frac{e^{A_t T^{-B}}}{(T - T_a)} dT \quad (93)$$

La integral $\int \frac{e^{A_t T^{-B}}}{(T - T_a)} dT$ es una integral del tipo de la ecuación (50), y se podría pensar que el método desarrollado en III.1.1 es aplicable en este caso. Sin embargo, por ser la constante A_t menor que A (pues se obtiene por $A_t = nA$, siendo n fraccionario), los valores obtenidos para las constantes de ajuste a , b y c no son números reales, sino complejos, y su aplicación práctica no es factible.

En estas circunstancias, y observando el comportamiento de la función $e^{At} T^{-B}$, se optó por ensayar una función en los números reales, para el caso de flujo turbulento.

El objetivo es evaluar $\int \frac{e^{At} T^{-B}}{(T - T_a)} dT$ mediante una función de ajuste apropiada. Ya que la integral anterior es de la forma de la ecuación (50) tratada en III.1.1, el razonamiento general para este caso es semejante al de flujo laminar. La diferencia estará en la forma funcional de la función de ajuste.

Si definimos:

$$Y(T) = \frac{e^{At} T^{-B}}{(T - T_a)} \quad (94)$$

y proponemos la función de ajuste a régimen turbulento:

$$W(T) = s e^{pT} \quad (95)$$

(en donde s , p son constantes), las funciones $Y(T)$ y $W(T)$ son las equivalentes en flujo turbulento a las funciones $g(T)$ y $F(T)$ en flujo laminar. En este caso, la ecuación equivalente a la ecuación (59) será:

$$W(T) = W(T_y) + Y_0 Z + \frac{Y_1 Z^2}{2!} + \dots + \frac{Y_n Z^{n+1}}{(n+1)!} \quad (96)$$

Análogamente las ecuaciones equivalentes a las ecuaciones (62) y (63) serán:

$$W_1(T_y) = Y_0 \quad (97)$$

$$W_2(T_y) = Y_1 \quad (98)$$

Ya que estamos proponiendo la función de ajuste $W(T) = s e^{pT}$, necesitamos evaluar s y p tales que se cumplan las ecuaciones (97) y (98). Como conocemos los valores numéricos Y_0 , Y_1 , podemos relacionar éstos con la forma de las dos primeras derivadas de $W(T)$ evaluadas en T_y . Así obtendremos los valores de s y de p .

En este caso, por tratarse solamente de dos constantes a evaluar (s y p), sólo se necesitan los valores de las dos primeras derivadas de $W(T)$ valuadas en T_y .

Por lo tanto, tenemos:

$$W = s e^{pT}$$

$$W_1 = \frac{dW}{dT} = s p e^{pT} = Wp \quad (99)$$

$$W_2 = \frac{d W_1}{d T} = s p p e^{pT} = W_1 p \quad (100)$$

Las derivadas valuadas en T_y serán:

$$W_1(T_y) = W(T_y) p = Y_0 \quad (101)$$

$$W_2(T_y) = W_1(T_y) p = Y_1 \quad (102)$$

Por lo tanto:

$$Y_1 = Y_0 p$$

$$p = \frac{Y_1}{Y_0} \quad (103)$$

Una vez evaluado p , obtenemos el valor de s de la ecuación (99) evaluada en T_y :

$$s = \frac{W_1(T_y)}{p e^{pT_y}}$$

$$s = \frac{Y_0}{p e^{pT_y}} \quad (104)$$

Si la forma propuesta para $W(T)$ es correcta, de la ecuación (96) tenemos:

$$\int Y(T) dT = s e^{pT} - s e^{pT_y} \quad (105)$$

La bondad de este ajuste se comprobará en el capítulo IV. Suponiendo que éste es correcto, de las ecuaciones (38), (93) y (105) obtenemos la expresión para la caída de presión por fricción en flujo turbulento:

$$\Delta P_f(\text{turbulento}) = -M_t N \int_{T_0}^{T_1} \left[s e^{pT} - s e^{pTy} \right]$$

ya que $s e^{pTy}$ se anula en la expresión anterior:

$$\Delta P_f(\text{turbulento}) = -M_t N (s e^{pT_1} - s e^{pT_0}) \quad (106)$$

en donde:

$$M_t = \frac{2 \rho_m V_s^{(2-n)}}{g_c D_i^{(n+1)}} (1.076391 \times 10^{-5})^n \quad (106-a)$$

$$N = \frac{\rho D_i^2 V C_p}{4 U_e D_e} \quad (106-b)$$

T_0 y T_1 = temperatura inicial y final respectivamente, dadas en grados rankine.

V_s = velocidad en ft./seg.

Las unidades de todas las demás variables son las establecidas en el capítulo II

IV. COMPROBACION DEL METODO

En el capítulo anterior se desarrolló un método analítico para calcular la caída de presión por fricción, tanto en flujo laminar, como en flujo turbulento (ecuaciones (90) y (106)).

Durante el desarrollo del método se hicieron varias suposiciones cuya validez no se comprobó en ese momento con el objeto de hacer más directo el desarrollo.

En el presente capítulo se comprobarán las siguientes suposiciones:

- 1).- Que la función del tipo $g(T) = \frac{e^{AT-B}}{T-T_a}$ puede representarse como una serie de Taylor convergente.
- 2).- Que la función de ajuste en régimen laminar: $F(T) = c e^{aT-b}$ es correcta, es decir, que se cumple:

$$\int_{T_0}^{T_1} \frac{\nu dT}{T-T_a} = \int_{T_0}^{T_1} \left[c e^{aT-b} - 0.7 \ln(T-T_a) \right] \quad (107)$$

3).- Que a flujo turbulento, la función de ajuste $W(t) = s e^{pT}$ es adecuada, y que

$$\int_{T_0}^{T_1} \frac{(\gamma)^n}{(T-T_a)} dT \approx \int_{T_0}^{T_1} \frac{e^{At} T^{-B}}{(T - T_a)} dT;$$

esto es, que se cumple:

$$\int_{T_0}^{T_1} \frac{(\gamma)^n}{(T - T_a)} dT = \int_{T_0}^{T_1} \left[s e^{pT} \right] \quad (108)$$

IV.1 La función $g(T) = \frac{e^{AT-B}}{(T - T_a)}$, puede representarse como una serie de Taylor convergente.

Para poder evaluar $g(T)$ en serie de Taylor debemos encontrar una regla general para obtener sus derivadas. Para mayor claridad, esto se hará considerando a $g(T)$ como producto de dos funciones:

$$g = f h$$

$$\text{donde: } f = e^{AT-B} \quad (109)$$

$$h = (T-T_a)^{-1} \quad (110)$$

IV.1.1 Obtención de las derivadas de $f(T)$.

$$f = e^{AT^{-B}}$$

$$f_1 = \frac{df}{dT} = -AB T^{-(B+1)} e^{AT^{-B}}$$

si definimos:

$$j_0 = -AB T^{-(B+1)} \quad (111)$$

$$\frac{dj_0}{dT} = j_1 = AB(B+1) T^{-(B+1)} T^{-1}$$

$$j_1 = -j_0(B+1) T^{-1} \quad (112)$$

y en general:

$$j_n = -j_{(n-1)}(B+n) T^{-1} \quad \text{para } n \geq 1.$$

Por lo tanto, las derivadas de $f(T)$ serán:

$$f_1 = f j_0 \quad (113)$$

$$f_2 = f_1 j_0 + f j_1 \quad (114)$$

$$f_3 = f_2 j_0 + 2 f j_1 + f j_2$$

$$f_4 = f_3 j_0 + 3 f_2 j_1 + 3 f_1 j_2 + f j_3$$

⋮
⋮
⋮

y en general:

$$\begin{aligned}
 f_n = & f(n-1) j_0 + (n-1) f(n-2) j_1 + \frac{(n-1)(n-2)}{2!} \\
 & f(n-3) j_2 + \dots + \frac{(n-1)(n-2) \dots (n-r+1)}{(r-1)!} f(n-r) \\
 & j(r-1) + \dots + f j(n-1) \quad (115)
 \end{aligned}$$

en donde r significa el r -ésimo término y puede tener valores enteros entre 1 y n .

IV.1.2 Obtención de las derivadas de $h(T)$.

$$h = (T-T_a)^{-1}$$

$$\frac{dh}{dT} = h_1 = - (T-T_a)^{-2}$$

$$h_1 = - h(h) \quad (116)$$

$$h_2 = - 2 (T-T_a)^{-3} = - 2 h_1(h) \quad (117)$$

$$h_3 = - 6 (T-T_a)^{-4} = - 3 h_2(h)$$

⋮
⋮
⋮
⋮

y en general:

$$h_n = - n h^{(n-1)}(h) \text{ para } n \geq 1 \quad (118)$$

IV.1.3 Obtención de las derivadas de $g(T)$

$$g = f h$$

$$\frac{dg}{dT} = g_1 = f_1 h + f h_1 \quad (119)$$

$$g_2 = f_2 h + 2f_1 h_1 + f h_2 \quad (120)$$

$$g_3 = f_3 h + 3 f_2 h_1 + 3 f_1 h_2 + f h_3$$

·
·
·
·

y en general:

$$g_n = f(n)h + n f(n-1) h_1 + \frac{n(n-1)}{2!} f(n-2) h_2 + \frac{n(n-1)(n-2)}{3!} f(n-3) h_3 + \dots + \frac{n(n-1)(n-2)\dots(n-r)}{(r-1)!} f(n-r+1) h(r-1) + \dots + f h^{(n)} \quad (121)$$

en donde r significa el r -ésimo término y puede tener valores enteros entre 1 y $n+1$.

Una vez obtenida la regla general para la construcción de las derivadas de $g(T)$, se puede comprobar numéricamente si se cumple:

$$g(T) = \frac{e^{AT-B}}{(T-T_a)} = g_0 + \frac{g_1 Z}{1!} + \frac{g_2 Z^2}{2!} + \dots + \frac{g_n Z^n}{n!} \quad (56)$$

en donde:

g_n = derivada de n-ésima de g evaluada en T_y

Z = $T - T_y$

T_y = temperatura cercana a T .

La comprobación numérica de lo anterior se realizó evaluando en T_y series de Taylor con 49 términos, es decir, hasta la derivada No. 48 para tener un valor de referencia-matemáticamente exacto. Esto se realizó mediante el programa "series/Taylor" escrito en FORTRAN para este fin; el cual fue corrido en las instalaciones del Programa Universitario de Cómputo en la UNAM.

Se muestran a continuación el programa usado y los resultados obtenidos para el caso específico de una fracción de petróleo con las siguientes características de temperatura - viscosidad cinemática:

$$a \ T_1 = 560^\circ R = 100.3^\circ F; \quad \nu_1 = 3000.00 \text{ cstk.}$$

$$a \ T_2 = 640^\circ R = 180.3^\circ F; \quad \nu_2 = 101.0 \text{ cstk.}$$

$$A = 1.6264390477 \times 10^{12}$$

$$B = 4.1146346252$$


```

104  FORMAT(1H17,45X,46H EVALUACION DE LA INTEGRAL POR SERIE DE TAYLOR/
1)
WRITE(6,300)
300  FORMAT(1H,55X,15H SUMAS PARCIALES/)
DO 180 NI=1,NDER
DIF(NI)=ZL(NI)-Z0(NI)
SUMA=DIF(NI)*GG(NI)+SUMA
WRITE(6,186)NI,SUMA
186  FORMAT(1H,50X,5H SUMA,12,1PD26.16)
180  CONTINUE
W(2)=GG(1)
W(3)=GG(2)
W(4)=GG(3)
AR=-W(2)
BR=W(2)-W(3)+TM
CR=((W(3)+TM)**2.0)/W(2)-((TM**2.0)*W(4))
RL=(-BR+DSQRT(BR**2.0-4.*AR*CR))/(2.*AR)
BF=RL-1.0
AJO=W(3)/W(2)+RL/TM
AF=(-AJO*(TM+RL))/BF
W(1)=W(2)/AJO
CF=W(1)/DEXP(AF/(TM*BF))
PRU=(DEXP(AF/(TF*BF)))*CF
ALIM2=CF*(DEXP(AF/TL*BF))
ALIM1=PRU
AINT=ALIM2-ALIM1
WRITE(6,850)AINT
850  FORMAT(1H1777,40X,54H EVALUACION DE LA INTEGRAL POR AJUSTE;METODO
1 ANALITICO//,55X,11H INTEGRAL =,1PD26.16)
WRITE(6,108)AF,BF,CF
108  FORMAT(77745X,49H CONSTANTES CALCULADAS PARA LA FUNCION DE AJUSTE
177,204,4H AF =,1PD24.16,10X,4H BF =,1PD24.16,10X,4H CF =,1PD24.16)
CALL EXIT
END

```

```

C 002:0115:2
C 002:0115:2
C 002:0115:2
C 002:0117:2
C 002:0113:0
C 002:0103:5
C 002:0102:1
C 002:0115:2
C 002:0115:2
C 002:0119:0
C 002:011A:3
C 002:011C:1
C 002:011E:3
C 002:011F:2
C 002:0122:0
C 002:0129:1
C 002:012F:2
C 002:0130:1
C 002:0135:2
C 002:0135:2
C 002:0133:2
C 002:0133:5
C 002:0135:4
C 002:0135:3
C 002:0144:2
C 002:0145:4
C 002:014C:2
C 002:014C:2
C 002:014C:2
C 002:0155:2
C 002:0155:2
C 002:0156:1
SEGMENT 002 IS 0196 LONG

```



VISCOSIDAD 1, DATO = 3.0000000000000000+03
VISCOSIDAD 1, CALCULADA = 3.0000000000000000+03

A = 1.62643904769068080+12 B = -4.11463462528567520+00
TEMP. INICIAL = 695.00000+00 TEMP. FINAL = 600.00000+00
TEMP. TAYLOR = 647.50000+00 TEMP. AMBIENTE = 519.70000+00



EVALUACION DE LA INTEGRAL POR SERIE DE TAYLOR

SUMAS PARCIALES

SUMA	1	-6.387150874105906660	+01
SUMA	2	-0.089150874105903660	+01
SUMA	3	-0.67387905420237510	+01
SUMA	4	-0.67387905450237510	+01
SUMA	5	-1.08470594737520150	+02
SUMA	6	-1.03470594757520150	+02
SUMA	7	-1.11257412423203020	+02
SUMA	8	-1.11257412423203020	+02
SUMA	9	-1.11796608143682630	+02
SUMA	10	-1.11796608143682630	+02
SUMA	11	-1.113872634229194380	+02
SUMA	12	-1.113872634229194380	+02
SUMA	13	-1.11901079012579340	+02
SUMA	14	-1.11901079012579340	+02
SUMA	15	-1.11903045633229690	+02
SUMA	16	-1.11903045633229690	+02
SUMA	17	-1.11903313036817590	+02
SUMA	18	-1.11903313036817590	+02
SUMA	19	-1.11903348836005070	+02
SUMA	20	-1.11903348836005070	+02
SUMA	21	-1.119033522943836260	+02
SUMA	22	-1.119033522943836260	+02
SUMA	23	-1.11903353334983300	+02
SUMA	24	-1.11903353334983300	+02
SUMA	25	-1.119033533610964070	+02
SUMA	26	-1.119033533610964070	+02
SUMA	27	-1.119033533620738030	+02
SUMA	28	-1.119033533620738030	+02
SUMA	29	-1.119033533621998540	+02
SUMA	30	-1.119033533621998540	+02
SUMA	31	-1.119033533622161640	+02
SUMA	32	-1.119033533622161640	+02
SUMA	33	-1.119033533622182820	+02
SUMA	34	-1.119033533622182820	+02
SUMA	35	-1.119033533622185580	+02
SUMA	36	-1.119033533622185580	+02
SUMA	37	-1.119033533622185940	+02
SUMA	38	-1.119033533622185940	+02
SUMA	39	-1.119033533622185990	+02
SUMA	40	-1.119033533622185990	+02
SUMA	41	-1.119033533622185990	+02
SUMA	42	-1.119033533622185990	+02
SUMA	43	-1.119033533622186000	+02
SUMA	44	-1.119033533622186000	+02
SUMA	45	-1.119033533622186000	+02
SUMA	46	-1.119033533622186000	+02
SUMA	47	-1.119033533622186000	+02
SUMA	48	-1.119033533622186000	+02



EVALUACION DE LA INTEGRAL POR AJUSTE; METODO ANALITICO
INTEGRAL = -1.12004734176106330+02

CONSTANTES CALCULADAS PARA LA FUNCION DE AJUSTE
AF = 6.07326881224525550+16
BF = 5.80995123422748470+00

CF = -1.50977821453625790+00



Estas propiedades corresponden a un combustible --
Bunker C.

En este caso, la suma de 49 términos de la serie de Taylor es "SUM 49", y la función $g(T)$ evaluada en $T=695^{\circ}\text{R}$, es el valor de "PRUEBA". Como se podrá observar en el listado de resultados, "SUM 49" y "PRUEBA" coinciden hasta 10^{-17} .

El valor de T_y usado fue de 647.5°R , por lo tanto -
 $Z = T - T_y = 695 - 647.5 = \underline{47.5^{\circ}\text{R}}$.

De las múltiples corridas del programa en cuestión, se concluyó lo siguiente:

La función $g(T) = \frac{e^{AT^{-B}}}{(T-T_a)}$ puede representarse como una serie de Taylor convergente, para un valor de T_y cercano a T . Sin embargo, el radio de convergencia, R_c , para el cual $Z < R_c$ depende del comportamiento viscosidad-temperatura, es decir, de las constantes A y B . Fuera de este radio de convergencia, la serie de Taylor es divergente.

A continuación se muestran los resultados del mismo caso anterior, pero con $T_y = 610^\circ R$, es decir $Z = 85^\circ R$. En este caso Z se sale del radio de convergencia y la serie -- diverge, como se comprueba al comparar:

$$\text{SUM 49} = -16.5756$$

$$\text{PRUEBA} = 0.1534$$

VISCOSIDAD 1, DATO = 3.0000000000000000+03
VISCOSIDAD 1, CALCULADA = 3.0000000000000000+03

A = 1.6264390476906808D+12 B = -4.1146346252856752D+00
TEMP. INICIAL = 695.0000D+00 TEMP. FINAL = 600.0000D+00
TEMP. TAYLOR = 610.0000D+00 TEMP. AMBIENTE = 519.7000D+00



EVALUACION DE LA INTEGRAL POR AJUSTE; METODO ANALITICO
INTEGRAL = -1.11939540973022210+02

CONSTANTES CALCULADAS PARA LA FUNCION DE AJUSTE

AF = 5.87292964424274150+16

BF = 5.80492424865082650+00

CF = -1.51874911172526440+00

QREN

IV.2 · La función de ajuste en flujo laminar $F(T) = c e^{aT^{-b}}$ es adecuada.

Esto se comprobó evaluando la integral

$$\int_{T_0}^{T_1} \frac{\gamma}{(T - T_a)} dt \text{ por serie de Taylor.}$$

El programa "Series/Taylor" referido anteriormente también proporciona el valor de la integral evaluada por serie de Taylor y el valor de la integral evaluada por la función de ajuste $F(T)$. En el listado del caso convergente reproducido en el inciso anterior se comprueba que:

Integral por serie de Taylor = - 111.9033

Integral por ajuste de $F(T)$ = - 112.0047

En el caso divergente, ($T_y = 610^\circ R$):

Integral por serie de Taylor = - 82.5965

Integral por ajuste de $F(T)$ = -111.9395

Es importante observar que aunque la integral por serie de Taylor en el caso divergente no proporciona el valor verdadero de la integral, el valor obtenido con la función de ajuste es muy aproximado (error de 0.04%).

Por otra parte, se comprobó que para un valor de T_y dado, es decir para un juego de constantes a , b y c de la función $F(T)$, las integrales evaluadas por ajuste a diferentes temperaturas T_0 y T_1 se aproximan muy cercanamente al valor verdadero de la integral (error menor de 0.4%).

Un ejemplo de esto se muestra comparando el siguiente listado en el que $T_y = 610^\circ\text{R}$, es decir, las constantes a , b y c (en el programa son AF, BF y CF) tienen el mismo valor que en el caso divergente del inciso anterior. En este listado se observa que:

$$\begin{aligned} T_0 &= 645^\circ\text{R} & T_1 &= 575^\circ\text{R} \\ T_y &= 610^\circ\text{R} \end{aligned}$$

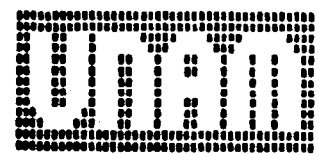
$$\text{Integral por serie de Taylor} = -389.98$$

$$\text{Integral por ajuste de } F(T) = -388.98$$

$$(\text{error} = 0.25\%).$$

Se realizan varias pruebas para fracciones de petróleo en diferentes rangos de viscosidad y se puede concluir que la función de ajuste proporciona un valor que está dentro del 0.4% de exactitud del valor verdadero de la integral

$$\int_{T_0}^{T_1} \frac{\nu}{T - T_a} dT.$$



VISCOSIDAD 1, DATO = 3.0000000000000000+03
VISCOSIDAD 1, CALCULADA = 3.0000000000000000+03

A= 1.62643904769068080+12 B= -4.11463462523567520+00
TEMP. INICIAL= 645.00000+00 TEMP. FINAL= 575.00000+00
TEMP. TAYLOR= 610.00000+00 TEMP. AMBIENTE= 519.70000+00

EVALUACION DE LA INTEGRAL POR SERIE DE TAYLOR

SUMAS PARCIALES

S.UMA	1	-2.10338751J	256356J	0+02
S.UMA	2	-2.10358751U	255356U	0+02
S.UMA	3	-3.4213505331	3373323	+02
S.UMA	4	-3.4213505331	3373323	+02
S.UMA	5	-3.5010417223	3991170	+02
S.UMA	6	-3.5010417223	3991170	+02
S.UMA	7	-3.50201243344	417473	+02
S.UMA	8	-3.50201243344	417473	+02
S.UMA	9	-3.59717830343	214160	+02
S.UMA	10	-3.59717830343	214160	+02
S.UMA	11	-3.677439454754	16793	+02
S.UMA	12	-3.677439454754	16793	+02
S.UMA	13	-3.6777037047154	1050	+02
S.UMA	14	-3.6777037047154	1050	+02
S.UMA	15	-3.6778080418755	1073	+02
S.UMA	16	-3.6778080418755	1073	+02
S.UMA	17	-3.6778150203921	900	+02
S.UMA	18	-3.6778150203921	900	+02
S.UMA	19	-3.6778154023710	770	+02
S.UMA	20	-3.6778154023710	770	+02
S.UMA	21	-3.6778157731064	1004	+02
S.UMA	22	-3.6778157731064	1004	+02
S.UMA	23	-3.6778157731064	1004	+02
S.UMA	24	-3.6778157731064	1004	+02
S.UMA	25	-3.6778157731064	1004	+02
S.UMA	26	-3.6778157731064	1004	+02
S.UMA	27	-3.6778157731064	1004	+02
S.UMA	28	-3.6778157731064	1004	+02
S.UMA	29	-3.6778157731064	1004	+02
S.UMA	30	-3.6778157731064	1004	+02
S.UMA	31	-3.6778157731064	1004	+02
S.UMA	32	-3.6778157731064	1004	+02
S.UMA	33	-3.6778157731064	1004	+02
S.UMA	34	-3.6778157731064	1004	+02
S.UMA	35	-3.6778157731064	1004	+02
S.UMA	36	-3.6778157731064	1004	+02
S.UMA	37	-3.6778157731064	1004	+02
S.UMA	38	-3.6778157731064	1004	+02
S.UMA	39	-3.6778157731064	1004	+02
S.UMA	40	-3.6778157731064	1004	+02
S.UMA	41	-3.6778157731064	1004	+02
S.UMA	42	-3.6778157731064	1004	+02
S.UMA	43	-3.6778157731064	1004	+02
S.UMA	44	-3.6778157731064	1004	+02
S.UMA	45	-3.6778157731064	1004	+02
S.UMA	46	-3.6778157731064	1004	+02
S.UMA	47	-3.6778157731064	1004	+02
S.UMA	48	-3.6778157731064	1004	+02



COLUMBIA INTERNACIONAL TEL. 44-4111

EVALUACION DE LA INTEGRAL POR AJUSTE; METODO ANALITICO
INTEGRAL = -3.8897972426001880+02



CONSTANTES CALCULADAS PARA LA FUNCION DE AJUSTE

AF = 5.87292964424274030+16

BF = 5.80492424863062630+00

CF = -3.51874911172526440+00

COMPUTACIONES Y SISTEMAS DE INFORMACION

IV.3 La función de ajuste en flujo turbulento $W(T) = e^{pT}$ es adecuada.

Esto se comprobó evaluando la integral

$$\int_{T_0}^{T_1} \frac{(\nu)^n}{T - T_a} dT$$
 por integración numérica y comparando el resultado con el resultado obtenido por ajuste.

Para fracciones de petróleo es aplicable la ecuación de Blasius para factor de fricción:

$$fr = \frac{0.0791}{(Re)^{0.25}}, \text{ (Ref. 4).}$$

Por lo tanto, el valor usado para n fue de 0.25.

Se estudiaron varios rangos de viscosidad, pudiéndose concluir lo siguiente:

1).- Para viscosidades cinemáticas arriba de 10 centistokes, y en flujo turbulento, la integral

$$\int_{T_0}^{T_1} \frac{(\nu)^n}{T - T_a} dT$$
 evaluada por la función de ajuste $W(T)$, difiere en menos de 0.4% del valor verdadero de la integral, cuando se usa un valor de T_y cercano a la temperatura media de los límites de

la integral; es decir T_y cercano a $\frac{T_0+T_1}{2}$. Se da rá un ejemplo en el Capítulo V.

- 2).- Para viscosidades cinemáticas entre 4.0 y 10.0 centistokes, la diferencia entre el valor verdadero de la integral

$$\int_{T_0}^{T_1} \frac{(\nu)^n}{(T-T_a)} dT$$

y el valor obtenido por ajuste es menor de 1.8%, cuando se usa $T_y = \frac{T_0+T_1}{2}$ ó un valor cercano a este promedio, en la evaluación de las constantes s y p . Véase el ejemplo para este caso que se dá en el capítulo V.

Ya que no es común que se calienten las fracciones de baja viscosidad para su transporte, no se consideró necesario evaluar el ajuste a viscosidades cinemáticas menores de 4.0 centistokes.

V. EJEMPLOS DE APLICACION

V.1 CALCULO DE LA CAIDA DE PRESION POR FRICCION EN FLUJO LAMINAR

Para ilustrar el método analítico se considerará el problema resuelto por método gráfico en el artículo de la referencia bibliográfica No. 1. El resultado publicado se comparará con el obtenido por el método; así como por la suma de caídas de presión por segmentos.

Problema:

Se bombearán 200 gal./min. de combustóleo No. 6 a 170°F a través de una tubería de 8 pulgadas de diámetro nominal cédula 40, de 60 000 ft. de longitud. El suelo es arcilloso-húmedo; la tubería se recubre de 0.5 in. de asfalto y está enterrada a una profundidad de 3 ft. En estas condiciones, el coeficiente total de transferencia de calor, referido a la superficie externa es según la tabla 1: $U_e = 0.315 \text{ BTU}/(\text{hr.})(\text{ft.}^2)(^\circ\text{F})$. La temperatura ambiente media:-

$T_a = 60^\circ\text{F}$. Los diámetros interno y externo respectivamente son: $D_i = 0.666 \text{ ft.}$; $D_e = 0.72 \text{ ft.}$

Propiedades del combustóleo:

$$\rho = 59.5 \text{ lb./ft.}^3 \text{ (17}^\circ \text{ API)}$$

$$\nu_1 = 320 \text{ cstk. a } 122^\circ\text{F}$$

$$\nu_2 = 36.5 \text{ cstk. a } 210^\circ\text{F}$$

$$C_p = 0.44 \text{ BTU/(lb.) (}^\circ\text{F)}$$

Primeramente, es necesario encontrar los valores de A y B de la ecuación que caracteriza el comportamiento viscosidad-temperatura:

$$\nu = e^{AT^{-B}} - 0.7$$

Para este caso:

$$T_1 = 122^\circ \text{ F} = 581.7^\circ\text{R}$$

$$T_2 = 210^\circ\text{F} = 669.7^\circ\text{R}$$

$$\nu_1 = 320 \text{ centistokes}$$

$$\nu_2 = 36.5 \text{ centistokes}$$

De la ecuación (46):

$$B = \frac{\ln \ln (V_2 + 0.7) - \ln \ln (V_1 + 0.7)}{\ln T_1 - \ln T_2}$$

$$B = 3.317167446$$

De la ecuación (47):

$$A_1 = \ln \ln (V_1 + 0.7) + B \ln T_1$$

$$A_1 = 22.86969798$$

De la ecuación (48):

$$A = e^{A_1}$$

$$A = 8.554283426 \times 10^9$$

V.1.1 Solución por el Método Analítico

Resumimos el método propuesto en los siguientes pasos:

- 1).- Obtener los valores numéricos de la función $g(T) = \frac{e^{AT-B}}{T - T_a}$ y sus primeras dos derivadas (g_1 y g_2), -

evaluadas en T_y según lo establecido en la sección-IV.1.

- 2).- Habiendo obtenido g_0 , g_1 y g_2 , se calcula el valor de I de acuerdo a la ecuación (81).
- 3).- Se calculan los valores de las constantes de ajuste a , b y c , de acuerdo a las ecuaciones (74), (82), (83) y (87).
- 4).- Se obtiene ΔP_f de acuerdo a la ecuación (90).

Solución:

Paso 1).- Para tener el rango de temperatura en el cual -trabaja el sistema, se calcula la temperatura al-final de la tubería, por la ecuación (23):

$$T_1 = 559.48^\circ R$$

Escogemos una temperatura T_y dentro del rango T_0 a- T_1 ; digamos $T_y = 582.0^\circ R$.

Evaluamos la función $g(T)$ y sus derivadas g_1 y g_2 -- de acuerdo a la sección IV.1, mediante la siguiente-secuencia:

$$j_0 = -AB T_y^{-(B+1)} = -3.2833375 \times 10^{-2}$$

$$j_1 = -j_0 (B+1) T_y^{-1} = 2.4355185 \times 10^{-4}$$

$$f = e^{A(T_y)^{-B}} = 317.55310$$

$$f_1 = f j_0 = -10.426340$$

$$f_2 = f_1 j_0 + f j_1 = 0.41967259$$

$$h = (T_y - T_a)^{-1} = 1.6051364 \times 10^{-2}$$

$$h_1 = -(h)^2 = -2.5764629 \times 10^{-4}$$

$$h_2 = 2(h)^3 = 8.2711491 \times 10^{-6}$$

$$g = \frac{e^{A(T_y)^{-B}}}{T - T_a} = f h = 5.0971606$$

$$g_1 = f_1 h + f h_1 = -2.4917337 \times 10^{-1}$$

$$g_2 = f_2 h_0 + 2 f_1 h_1 + f h_2 = 1.4735462 \times 10^{-2}$$

Paso 2).- Se calcula \dot{K} , por ecuaciones (78), (79), (80) y (81):

$$Q = -g_0 = -5.09716106$$

$$R = (g_0 - g_1 T_y) = 150.11606$$

$$S = T_y^2 \left(\frac{g_1^2}{g_0} - g_2 \right) = -865.33396$$

$$I = \frac{-R + (R^2 - 4QS)^{1/2}}{2Q}$$

$$I = 7.864605962$$

Paso 3).-

$$b = I - 1 = 6.864605962$$

$$r_y = \left(\frac{g_1}{g_0} + \frac{1}{T_y} \right) = -3.5371671 \times 10^{-2}$$

$$a = -\frac{r_y}{b} T_y^{(b+1)} = 2.864638 \times 10^{19}$$

$$c = \frac{g_0}{r_y e^{aT_y^{-b}}} = -7.182309624$$

Paso 4).- En régimen laminar:

$$\Delta P_f = -MN \left[\frac{T_1}{T_0} \left(c e^{aT^{-b}} - 0.7 \ln(T - T_a) \right) \right]$$

$$M = \frac{32 \rho V_s}{g_c D_i^2} (1.076391 \times 10^{-5}) = 1.8311729 \times 10^{-3}$$

$$N = \frac{-\rho D_i^2 V C_p}{4 U_e D_e} = -58985.802$$

$$\Delta P_f = -(1.8311729 \times 10^{-3})(-58985.802)(-324.46393)$$

$$\Delta P_f = -35046.4 \text{ lb./ft.}^2$$

$$\Delta P_f = \frac{-35046.4}{144} \text{ psi.} = -243.37 \text{ psi.}$$

V.1.2 Solución por Método Gráfico

El método gráfico propuesto por Lothholz (Ref. 1), es el siguiente:

- 1).- Graficar la viscosidad cinemática como función de la temperatura en una carta ASTM.
- 2).- Hacer una gráfica semilogarítmica de la diferencia de temperatura ($T_x - T_a$) en función de la longitud x de acuerdo a la ecuación:

$$\log (T_x - T_a) = \log (T_o - T_a) - \left(\frac{1}{2.303}\right) \left(\frac{\pi}{3600}\right) \left(\frac{D_e U_e}{C_p \rho G}\right)$$

en donde G = gasto en $\text{ft}^3/\text{seg.}$

- 3).- Graficar la viscosidad cinemática como función de la longitud, de acuerdo a las gráficas obtenidas --

en los pasos (1) y (2).

- 4).- Determinar el área bajo la curva construída en el paso (3). Esto puede hacerse cortando la gráfica y pesándola.
- 5).- Calcular la caída de presión de acuerdo a la ecuación:

$$\Delta P_f = \frac{128}{\pi} \frac{G \rho}{D_i^4 g_c} \int_0^L v \, dx$$

En donde el valor de la integral es el área evaluada en el paso (4).

El resultado obtenido por este método al problema que estamos considerando es según su autor:

$$\Delta P_f = 35100 \text{ lb./ft.}^2 = 243.75 \text{ psi.}$$

V.1.3 Evaluación de ΔP_f sumando las caídas de presión de segmentos de la línea.

Para evaluar esta alternativa se escribió el programa "Presión /seg" en FORTRAN. Este programa considera de crementos uniformes de temperatura para cada segmento y


```

150 TX=CM VISCOSIDAD MEDIA (C3TK.),TUR,24H CAIDA DE PRESION (PEL.))
DELTX=TX-TA
OIV=DELTX/DELTX
RLV=LOG(OIV)
X=RLV*RM
DELX=X-DELX
TDEC=TX+DECT
TMED=(TX+TDEC)/2
VINED=(DEXP(ALFA*(TMED**P)))-0.7
DELP=(RV+VINED*DELX)/144.0
SDELP=DELP+SDELP
DIF=TX-TF
TFAR=TX-459.7
WRITE(6,327) X,TFAR,VINED,SDELP
327 FORMAT(1H,5X,1PD16.7,12X,1PE16.7,17X,1PD16.7,19X,1PD16.7)
IF(DIF.LT.DECF) GO TO 200
TX=TX-DECT
DELX=X
GO TO 150
200 TMED=(TX+TF)/2
VINED=(DEXP(ALFA*(TMED**P)))-0.7
TA=TF
TFAR=TX-459.7
DELX=XL-X
X=XL
DELP=(RV+VINED*DELX)/144.0
SDELP=DELP+SDELP
WRITE(6,327) X,TFAR,VINED,SDELP
CALL EXIT
END

```

```

UUZ:UU41:
UUZ:UU42:
UUZ:UU43:
UUZ:UU44:
UUZ:UU45:
UUZ:UU46:
UUZ:UU47:
UUZ:UU48:
UUZ:UU49:
UUZ:UU50:
UUZ:UU51:
UUZ:UU52:
UUZ:UU53:
UUZ:UU54:
UUZ:UU55:
UUZ:UU56:
UUZ:UU57:
UUZ:UU58:
UUZ:UU59:
UUZ:UU60:
UUZ:UU61:
UUZ:UU62:
UUZ:UU63:
UUZ:UU64:
UUZ:UU65:
UUZ:UU66:
UUZ:UU67:
UUZ:UU68:
UUZ:UU69:
UUZ:UU70:
UUZ:UU71:
UUZ:UU72:
UUZ:UU73:
UUZ:UU74:
UUZ:UU75:
UUZ:UU76:
UUZ:UU77:
UUZ:UU78:
UUZ:UU79:
UUZ:UU80:
UUZ:UU81:
UUZ:UU82:
UUZ:UU83:
UUZ:UU84:
UUZ:UU85:
UUZ:UU86:
UUZ:UU87:
UUZ:UU88:
UUZ:UU89:
UUZ:UU90:
UUZ:UU91:
UUZ:UU92:
UUZ:UU93:
UUZ:UU94:
UUZ:UU95:
UUZ:UU96:
UUZ:UU97:
UUZ:UU98:
UUZ:UU99:
UUZ:UU00:

```



SECRET 002 18 0000 LONS



VISCOSIDAD 1, DATO = 3.2000000000000000+02
VISCOSIDAD 1, CALCULADA = 3.2000000000000000+02

DIAMETRO INTERNO = .66667E+00 DIAMETRO EXTERNO = .72000E+00 DENSIDAD = 59.50000E+00
COEFICIENTE DE TRANSFERENCIA DE CALOR; U = 31.50000E-02 CAPACIDAD CALORICA; CP = 44.00000E-02

A = 8.5542833783244230+09 B = -3.3171674443878140+00
TEMP. INICIAL = 629.70000+00 TEMP. FINAL = 559.48000+00
LONG. TOTAL = 600.00000+02 TEMP. AMBIENTE = 519.70000+00

calcula la caída de presión en el mismo, considerando la viscosidad evaluada a la temperatura media de ese segmento. A continuación se muestra una copia de este programa y los resultados obtenidos para el presente problema. Como podrá observarse, el resultado obtenido considerando decrementos de 2 grados es:

$$\Delta P_f = -243.60 \text{ psi.}$$

Comparando los resultados obtenidos por los tres métodos se observa que concuerdan:

Método analítico	-----	$\Delta P_f = -243.37 \text{ psi.}$
Método gráfico	-----	$\Delta P_f = -243.75 \text{ psi.}$
Método por segmentos	-----	$\Delta P_f = -243.60 \text{ psi.}$

$$\text{error (\%)} = \frac{-243.37 - (-243.60)}{-243.60} \times 100 = 0.09\%$$

(relativo al método por segmentos)

V.2 CALCULO DE LA CAIDA DE PRESION POR FRICCION EN FLUJO TURBULENTO

El método analítico para calcular la caída de presión a flujo turbulento en un sistema no isotérmico se puede resumir en los siguientes pasos:

- 1).- Obtener los valores numéricos de la función $Y(T) = \frac{e^{AtT^{-B}}}{(T-T_a)}$ y de su primer derivada Y_1 , evaluadas en T_y .
- 2).- Con los valores de Y_0 , Y_1 se calculan p y s con las ecuaciones (103) y (104).
- 3).- Se calcula ΔP_f turbulento con la ecuación (106).

A manera de ilustración y comprobación adicional, se resolverán dos problemas en flujo turbulento: uno en el rango de viscosidad cinemática mayor de 10 centistokes y otro en el rango de 4 a 10 centistokes.

V.2.1 Problema en el cual la viscosidad es mayor de 10 centistokes

Se considerará el mismo sistema descrito en el problema de la sección V.1 con las diferencias de que se bom-

bearán 600 gal./min. de un crudo "Faja de Oro" de las siguientes características (Ref. 5):

$$a \ T_1 = 100^\circ\text{F} \ ; \ \nu_1 = 202.25 \text{ centistokes}$$

$$a \ T_2 = 140^\circ\text{F} \ ; \ \nu_2 = 61.11 \text{ centistokes}$$

$$\rho = 58.65 \text{ lb./ft.}^3$$

$$C_p = 0.44 \text{ BTU/(lb.)(}^\circ\text{F).}$$

Además, la temperatura inicial de bombeo será:

$$T_0 = 210^\circ\text{F} = 669.7^\circ\text{R.}$$

Las constantes A y B obtenidas por las ecuaciones (46), (47) y (48) son:

$$A = 6.4465248330 \times 10^{10}$$

$$B = 3.669633606$$

Como en este caso el factor de fricción es:

$$f_r = \frac{0.0791}{(\text{Re})^{0.25}} ,$$

por lo que:

$$m = 0.0791$$

$$n = 0.25$$

$$At = n A = 0.25 A$$

$$At = 1.611631208 \times 10^{10}$$

Por lo tanto, las condiciones al inicio de la tubería son:

$$T_0 = 210^\circ\text{F} = 669.7^\circ\text{R}$$

$$\nu_0 = 14.94 \text{ cstk.}$$

$$V_s = 3.8325 \text{ ft./seg.}$$

$$Re_0 = 15888.; \text{ flujo turbulento.}$$

Las condiciones al final de la tubería son:

$$T_1 = 166.3^\circ\text{F} = 626.0^\circ\text{R} \text{ (por ec. (23))}$$

$$\nu_1 = 33.15 \text{ cst.k}$$

$$Re_1 = 7160.; \text{ flujo turbulento.}$$

V.2.1.1 Solución por método analítico

Paso 1).- Evaluar Y_0 , Y_1 :

Para $T_y = 647^\circ\text{R}$ (intermedia entre T_0 y T_1)

$$Y_0 = \frac{e^{At T_y^{-B}}}{(T_y - T_a)} = 1.7142078 \times 10^{-2}$$

$$Y_1 = Y_0 (-At B T_y^{-(B+1)}) - e^{At T_y^{-B}} (T_y - T_a)^2$$

$$Y_1 = 2.1052692 \times 10^{-4}$$

Paso 2).- Calcular p y s por ecs. (103) y (104).

$$p = \frac{Y_1}{Y_0} = -1.2281295 \times 10^{-2}$$

$$s = \frac{Y_0}{p e^{p T_y}} = -3.9420523 \times 10^3$$

Paso 3).- Calcular ΔP_f (turbulento) por ec. (106).

$$\Delta P_f(\text{turbulento}) = -M_t N (s e^{p T_1} - s e^{p T_0})$$

$$M_t = \frac{2 \rho_m V_s^{(2-n)}}{g_c D_i (n+1)} (1.076391 \times 10^{-5})^n$$

$$M_t = 2.878881635 \times 10^{-1}$$

$$N = \frac{-\rho D_i^2 V C_p}{4 U_e D_e}$$

$$N = -1.74429444 \times 10^5$$

$$\Delta P_f = - (2.878881635 \times 10^{-1}) (-1.74429444 \times 10^5) \\ (-0.75025881)$$

$$\Delta P_f \text{ (turbulento)} = -37675.12 \text{ lb./ft.}^2$$

$$\Delta P_f \text{ (turbulento)} = -261.63 \text{ psi.}$$

Por otra parte, se calculó ΔP_f por segmentos y por integración numérica. Este último método se considera el de mayor exactitud y se toma como referencia.

$$\text{Método por segmentos} \quad \text{---} \quad \Delta P_f = - 261.22 \text{ psi.}$$

$$\text{Método por integración} \\ \text{numérica} \quad \text{---} \quad \Delta P_f = - 262.17 \text{ psi.}$$

$$\text{Método analítico} \quad \text{---} \quad \Delta P_f = - 261.63 \text{ psi.}$$

En este caso el error para el método analítico es:

$$\text{error (\%)} = \frac{- 261.63 - (-262.17)}{- 262.17} = - 0.20\%$$

V.2.2 Problema en el cual la viscosidad está dentro del rango de 4 a 10 cstk.

El método de cálculo es el mismo que el aplicado en

V.2.1; pero se muestra este ejemplo para ilustrar como varía la exactitud al trabajar en el rango de baja viscosidad.

También aquí se considerará el sistema descrito en el problema de la sección V.1, pero en este caso se bombearán 600 gal./min. a una temperatura inicial $T_0 = 190^\circ\text{F} = 649.7^\circ\text{R}$, de un crudo "La Laja" del cual se tienen los siguientes datos (Ref. 5):

$$a \quad T_1 = 100^\circ\text{F} \quad ; \quad \nu_1 = 30.29 \text{ cstk.}$$

$$a \quad T_2 = 140^\circ\text{F} \quad ; \quad \nu_2 = 11.42 \text{ cstk.}$$

$$\rho = 57.40 \text{ lb./ft.}^3$$

$$C_p = 0.46 \text{ BTU/(lb.)(}^\circ\text{F)}$$

Para este crudo, las constantes A y B obtenidas por las ecuaciones (46), (47) y (48) son:

$$A = 1.780736657 \times 10^{13}$$

$$B = -4.627019151$$

También en este caso se considerará que el factor de fricción está dado por (Ref. 4):

$$f_r = \frac{m}{(\text{Re})^n} = \frac{0.0791}{(\text{Re})^{0.25}}$$

por lo que:

$$A_t = n A = 0.25 A$$

$$A_t = 4.451841642 \times 10^{12}$$

Por lo tanto, las condiciones al inicio de la tubería son:

$$T_o = 190^\circ\text{F} = 649.7^\circ\text{R}$$

$$v_o = 4.89 \text{ cstk.}$$

$$V_s = 3.8325 \text{ ft./seg.}$$

$$Re_o = 48541; \text{ flujo turbulento}$$

Las condiciones al final de la tubería son:

$$T_1 = 152.9^\circ\text{F} = 612.6^\circ\text{R} \text{ (calculada con ec. (23))}$$

$$v_1 = 8.89 \text{ cstk.}$$

$$Re_1 = 26\,700; \text{ flujo turbulento}$$

V.2.2.1 Solución por método analítico

Paso 1).- Para $T_y = 631.0^\circ\text{R}$

$$Y_0 = \frac{e^{At} T_y^{-B}}{(T_y - T_a)} = 1.4708363 \times 10^{-2}$$

$$Y_1 = Y_0 (- A_t B T_y^{-(B+1)}) - e^{At} T_y^{-B} (T_y - T_a)^{-2}$$

$$Y_1 = 1.8531080 \times 10^{-4}$$

Paso 2).- Calcular p y s por ecs. (103) y (104):

$$p = \frac{Y_1}{Y_0} = -1.2599009 \times 10^{-2}$$

$$s = \frac{Y_0}{P e^{pT_y}} = -3.31022937 \times 10^3$$

Paso 3).- Calcular ΔP_f (turbulento) por ec. (106):

$$\Delta P_f \text{ (turbulento)} = -M_t N (s e^{pT_1} - s e^{pT_0})$$

$$M_t = 2.81752439 \times 10^{-1} \quad \text{por ec. (106-a)}$$

$$N = -1.7847148 \times 10^5 \quad \text{por ec. (106-b)}$$

$$(s e^{pT_1} - s e^{pT_0}) = -0.549621$$

$$\Delta P_f \text{ (turbulento)} = -(2.81752439 \times 10^{-1})(-1.7847148)10^5 (-0.549621)$$

$$\Delta P_f \text{ (turbulento)} = -27\,637.60 \text{ lb./ft.}^2$$

$$\Delta P_f \text{ (turbulento)} = - \underline{191.92} \text{ psi.}$$

También se calculó ΔP_f por segmentos y por integración numérica. Se comparan los tres resultados:

$$\text{Método por segmentos} \quad \text{---} \quad \Delta P_f = -188.49 \text{ psi.}$$

$$\text{Método por integración numérica} \quad \text{---} \quad \Delta P_f = -188.90 \text{ psi.}$$

$$\text{Método analítico} \quad \text{---} \quad \Delta P_f = -191.92 \text{ psi.}$$

El error que da el método analítico en el rango de viscosidad de 4 a 10 cstk. es mayor, siendo en este caso:

$$\text{error (\%)} = \frac{-191.92 - (-188.90)}{-188.90} \times 100 = 1.59\%$$

VI. CONCLUSIONES

El presente trabajo de tesis proporciona un método-analítico para calcular la caída de presión por fricción en un sistema de bombeo de fracciones de petróleo con calentamiento inicial.

Las principales conclusiones derivadas de los resultados obtenidos son las siguientes:

- 1).- Aunque el lineamiento general del método es uno sólo, se desarrollaron dos ecuaciones para obtener la caída de presión por fricción. La ecuación (90) es aplicable a flujo laminar y la ecuación (106) es aplicable a flujo turbulento.
- 2).- Con el método analítico propuesto se obtienen resultados cuya desviación del valor real es:
 - a).- De $\pm 0.4\%$ máxima si la viscosidad cinemática es ma-

yor de 10 centistokes, tanto a régimen laminar como a régimen turbulento.

b).- De $\pm 1.8\%$ máxima si la viscosidad cinemática está comprendida entre 4 y 10 centistokes, a flujo turbulento.

3).- Las ventajas que tiene el presente método analítico sobre el método gráfico son la rapidez de cálculo y la precisión de resultados, pues el método gráfico involucra las operaciones de graficar, cortar y pesar, las cuales introducen errores en la evaluación.

Comparado con el método de suma de caídas de presión por segmentos, el método analítico de resultados de similar exactitud, con la ventaja de que el resultado se puede obtener directamente sin secuencias iterativas ni programas para computadora.

4).- Otra ventaja adicional es que por ser un método con el cual se obtiene la caída de presión como función de las temperaturas en los extremos de la línea y del diámetro de la tubería; es posible la optimización analítica de variables como el diámetro, la temperatura inicial de calentamiento, el espesor de aislamiento, etc.

A P E N D I C E

Como complemento al método analítico para calcular la caída de presión en un sistema no isotérmico que maneje líquidos, se presentará a continuación el método propuesto por Lapple (Ref. 7) para calcular la caída de presión o la masa velocidad para flujo de gases en un sistema no isotérmico.

El flujo de gases no isotérmico se presenta generalmente cuando existen caídas de presión considerables, y la expansión del gas causa un enfriamiento del mismo.

En general, el sistema considerado se representa esquemáticamente en la figura 2:

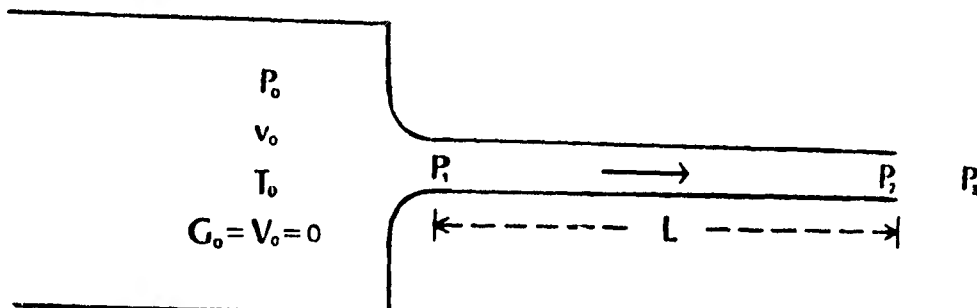


FIGURA 2

Generalmente el flujo no isotérmico de gases se puede aproximar como un sistema adiabático. En la presentación del siguiente método se considerará un comportamiento de gas ideal, y en el cual es aplicable la siguiente:

N O M E N C L A T U R A

- A = área, sq. ft.
- A_c = área para flujo crítico, en la garganta de la boquilla, sq. ft.
- C = Coeficiente de descarga, adimensional.
- D = Diámetro, ft.
- f = factor de fricción de Fanning, adimensional
- g_c = constante dimensional = 32.17 lb. ft./lb. seg.²
- G = $V\rho = V/v =$ masa velocidad, lb./seg. (sq. ft.)
- G_c = masa velocidad crítica o máxima, lb./seg. (sq. ft.)
- G_{ci} = máxima velocidad hipotética en expansión isotérmica, lb./seg. (sq. ft.)
- k = C_p/C_v , adimensional
- L = longitud, ft.
- M = peso molecular lb./lb.-mol
- N = $fL/R_h =$ resistencia por fricción en cabezas de velocidad.
- P_c = Presión crítica, lb. fuerza/sq. ft. abs.
- P_0 = presión absoluta en cámara grande, lb. fuerza/sq. ft.

- P_1, P_2 = presión absoluta a la entrada y salida respectivamente, lb. fuerza/sq. ft.
 P_3 = presión absoluta de los alrededores, lb. fuerza/sq. ft.
 R = constante de los gases = 1546 ft. (lb. fuerza / (lb. mol) °R
 R_h = radio hidráulico
 r_c = P_c/P_0 , relación crítica de presiones, adimensional
 T = temperatura absoluta °R
 V = velocidad, ft./seg.
 V_c = velocidad crítica, ft./seg.
 v = volumen específico ft.³/lb.
 ω = flujo de masa, lb/seg.
 β = relación de diámetro de la garganta de la boquilla a diámetro de la tubería, adimensional.
 μ = viscosidad, lb/ft. seg. = centipoise/1488
 ρ = densidad, lb./ft.³

En un ducto horizontal, el balance de energía mecánica se puede expresar en forma diferencial como:

$$v dp + \frac{V dv}{g_c} = -\frac{2 f V^2}{g_c D} \quad (1)$$

En un ducto uniforme, la masa velocidad G es constante, de tal forma que si P es conocido como función de v , $v dp$ puede expresarse como $\theta(v) dv$, y en consecuencia la integración de la ecuación (1) es posible. Sin embargo, generalmente son necesarios procedimientos gráficos.

El método gráfico para la integración de la ecuación (1) presentado por Lapple para flujo adiabático en ductos horizontales asume que las condiciones de flujo en la entrada resultan de la expansión a diabática del gas a través de una boquilla sin fricción que sale de una cámara grande en la que la velocidad del gas es despreciable. Tal cámara se presenta frecuentemente en la realidad, y es posible compensar el hecho de que la entrada no sea una boquilla perfecta, considerando un aumento adicional a la longitud de la tubería. Los datos indican que el factor de fricción es la misma función del número de Reynolds para flujo compresible y para flujo incompresible. Para un diámetro de tubería y flujo de masa dados, el factor de fricción depende de la viscosidad, la cual a su vez depende de la temperatura. Ya que en flujo adiabático compresible el número de Reynolds es usualmente alto, la variación del factor de fricción debido a variaciones de temperatura a lo largo de la tubería es pequeña y es posible considerar un factor de fricción constante en la integración.

Para el sistema considerado en la Figura 2 se cumplen las siguientes relaciones

$$\frac{v_1}{v_0} = \left(\frac{P_0}{P_1} \right)^{1/k} \quad (2)$$

$$\frac{T_1}{T_0} = \left(\frac{P_1}{P_0} \right)^{(k-1)/k} \quad (3)$$

$$\frac{P_0}{P_1} = \left[1 + \frac{G^2}{2g_c} \left(\frac{k-1}{k} \right) \frac{RT_1}{MP_1^2} \right]^{k/(k-1)} \quad (4)$$

$$\frac{T_2}{T_1} = \left(\frac{P_2}{P_1} \right) \left(\frac{v_2}{v_1} \right) \quad (5)$$

Las gráficas de las figuras 3, 4 y 5 muestran, para tres valores de k , y para varios valores de resistencia a la fricción N , la relación entre P_2/P_0 ó P_3/P_0 y la relación de la masa velocidad G en el ducto, al parámetro:

$$G_{ci} = \sqrt{\frac{g_c P_0}{2.718 v_0}} = P_0 \sqrt{\frac{g_c M}{2.718 RT_0}} \quad (6)$$

La cantidad G_{ci} es la máxima masa velocidad hipotética en expansión isotérmica a través del sistema de la figura 2, cuando $N=0$. Tal expansión isotérmica no es físicamente factible. Las relaciones P_2/P_0 y P_3/P_0 son idénticas si para un dado valor de N la masa velocidad es menor que el valor máximo o valor crítico G_c ; esto se cumple arriba de la línea punteada de las gráficas. Para un conjunto de condiciones dadas a la

entrada, la velocidad de descarga de un gas a través de una boquilla aumentará al disminuir la relación de presiones absolutas P_1/P_2 hasta que la velocidad lineal en la garganta de la boquilla alcance la velocidad del sonido en ese gas y en ese lugar. El valor de P_1/P_0 para el cual se alcanza la velocidad acústica se le llama la relación crítica $r_c = P_c/P_0$. La presión en la garganta de la boquilla no será menor que $P_0 r_c$ aún si existe una mucho menor presión a la salida; es decir si P_3/P_0 es menor que el valor de P_2/P_0 correspondiente a G_c el flujo es independiente de P_3 . La línea punteada en las figuras 3, 4 y 5 es la gráfica de P_2/P_0 en flujo crítico VS. G_c/G_{ci} .

Para $\beta \leq 0.2$ la relación crítica está dada por:

$$r_c = \left(\frac{2}{k+1} \right)^{k/(k-1)} \quad (7)$$

Bajo condiciones de flujo crítico sólo se necesitan conocer las condiciones de entrada P_0 , v_0 y T_0 para determinar la velocidad de flujo, la cual para $\beta \leq 0.2$ está dada por:

$$\omega_{\max.} = C A_c \sqrt{g_c k \left(\frac{P_0}{v_0} \right) \left(\frac{2}{k+1} \right)^{(k+1)/(k-1)}} \quad (8)$$

Para un gas ideal, la ec. (8) es:

$$\omega_{\max.} = CA_c P_0 \sqrt{g_c k \left(\frac{M}{RT_0} \right) \left(\frac{2}{k+1} \right)^{(k+1)/(k-1)}} \quad (9)$$

que para el caso específico de aire se reduce a:

$$\omega_{\max.} = \frac{0.533 CA_c P_0}{\sqrt{T_0}} \quad (10)$$

Para usar las gráficas de las figuras 3, 4, y 5 se deben hacer las siguientes consideraciones:

- 1.) La interpolación entre gráficas es permisible para otros valores de k .
- 2.) Cuando haya accesorios instalados en la línea se aumentará al valor de N calculado para la tubería recta, el número cabezas de velocidad equivalente a la pérdida en los accesorios (véase Figura 6). Sin embargo, si el área transversal de un accesorio es significativamente menor que el de la tubería, se pueden obtener resultados erróneos porque podría suceder que se llegara a la velocidad acústica en la constricción con la consecuente limitación del flujo.

- 3.) Para entradas abruptas, las gráficas dan un resultado aproximadamente correcto si se le añade 0.5 al valor de N para el ducto. Sin embargo, en este caso las fórmulas (2), (3) y (4) dadas anteriormente no son aplicables, porque se aplican sólo en caso de entrada redondeada.

El procedimiento a seguir cuando se busca G es el siguiente:

Asúmase un valor $f = 0.0045$ para determinar un valor de prueba de G ; con este valor aproximado de G se calcula Re y con Re se encuentra f . Si el valor encontrado de f checa con el asumido inicialmente el valor de G será el buscado; si no checa se repite el procedimiento con el nuevo valor de f .

A continuación se da un ejemplo ilustrativo:

Se desea calcular la velocidad de descarga de aire a la atmósfera de un recipiente a 150 psi. y 70°F a través de 35 ft. de tubería de dos pulgadas de diámetro Ced. 40 (Diámetro interno = 2.067 in.) y tres codos standard de 90°. La entrada de la tubería es abrupta.

Solución:

- 1.) Se asume $f = 0.0045$

- 2.) Se expresan las resistencias por fricción en función de N:

<u>Resistencia</u>	<u>L/D</u>	<u>N</u>
Entrada		0.50
Tubería recta	203	3.65*
3 Codos 90°		<u>2.25</u>
		6.40

*Calculada por $N = f L/R_h = 4f L/D$ asumiendo
 $f = 0.0045$

- 3.) Las condiciones conocidas son:

$$T_0 = 530^\circ R$$

$$P_0 = (150 + 14.7) (144) = 23700 \text{ lb./ft}^2$$

$$P_3 = (14.7) (144) = 2120. \text{ lb./ft}^2$$

$$P_3/P_0 = 0.0893$$

$$M = 29$$

$$G_{ci} = P_0 \sqrt{\frac{gM}{2.718RT_0}} = 486 \text{ lb./seg. (ft.)}^2$$

- 4.) Se calcula la velocidad de descarga con la Figura 4.:

$$k = 1.4$$

G/G_{ci} ; (de la curva para $N = 6.4$) y

$$(P_3/P_0) = 0.0893 \text{ -----} 0.53$$

$$G = 257 \text{ lb./seg. (ft.)}^2$$

$$(T_2/T_0); \text{ (de la línea punteada) } = 0.833$$

$$T_2 = 442^\circ\text{R}$$

$$\text{Temperatura promedio} = 26^\circ\text{F}$$

$$\mu \text{ a Tem. promedio} = 1.14 \times 10^{-5} \text{ lb./ft. seg.}$$

$$\text{Re} = 3,880,000$$

$$f = 0.0047; \text{ (de la Figura 7)}$$

Ya que $f = 0.0047$ es bastante aproximado al valor asumido $f = 0.0045$ no es necesario repetir el procedimiento y se considera $G = 257 \text{ lb/seg (ft.)}^2$ = el valor buscado.

Cuando se desea calcular la caída de presión entre dos puntos a lo largo de una tubería siendo conocidos el flujo y las condiciones en el punto más cercano a la boquilla, el procedimiento a seguir es el siguiente:

Sean las condiciones conocidas T_1 y P_1 .

Los cocientes G/G_{ci} , P_2/P_1 y T_2/T_1 están referidos a las condiciones conocidas y se pueden relacionar a G/G_{ci} , P_1/P_0 y T_1/T_0 mediante las siguientes ecuaciones:

$$\frac{G}{G_{ci}} = \frac{G}{G_{ci}} \left(\frac{\sqrt{T_1/T_0}}{P_1/P_0} \right) \quad (11)$$

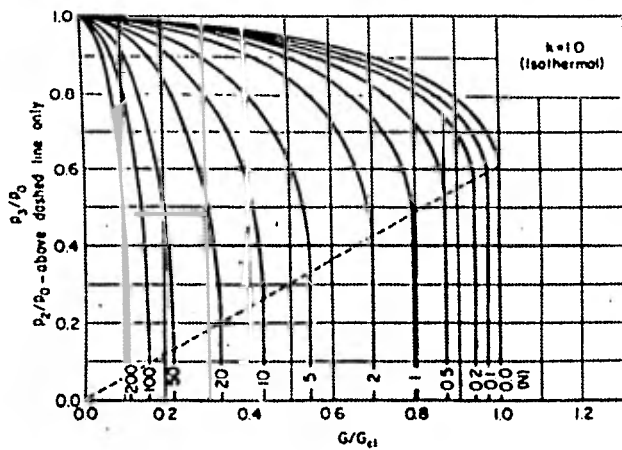
$$\frac{P_2}{P_1} = \frac{P_2/P_0}{P_1/P_0} \quad (12)$$

$$\frac{T_2}{T_1} = \frac{T_2/T_0}{T_1/T_0} \quad (13)$$

en donde G_{1ci} es una cantidad hipotética que no tiene significado físico real y que está definida por:

$$G_{1ci} = \sqrt{\frac{gc P_1}{2.718 v_1}} = P_1 \sqrt{\frac{gc M}{2.718 RT_1}}$$

Primero, se asume un valor de G/G_{ci} , y de la gráfica apropiada se leen los valores correspondientes de P_1/P_0 y T_1/T_0 para $N=0$. Con estos valores se calcula G/G_{ci} de la ecuación (11) y del valor calculado de G_{ci} . Usando este valor calculado de G/G_{ci} se repite el procedimiento hasta que el valor calculado de G/G_{ci} sea igual al último valor asumido de G/G_{ci} . Usando el valor final de G/G_{ci} se lee de la gráfica el valor de P_1/P_0 para $N=0$ y el de P_2/P_0 para $N=4fL/D$. Por último P_2 se calcula de la ecuación (12). Los valores de P_0 y T_0 así determinados son en general, hipotéticos, y se rían las condiciones que una cámara requeriría para dar las condiciones P_1 y T_1 en la garganta de una boquilla sin fricción.



No. S-29a. Design chart for isothermal and adiabatic flow of compressible fluids through pipes at high pressure drops. [Lepple, Trans. Am. Inst. Chem. Engrs., 38, 385 (1943).]

FIGURA 3.

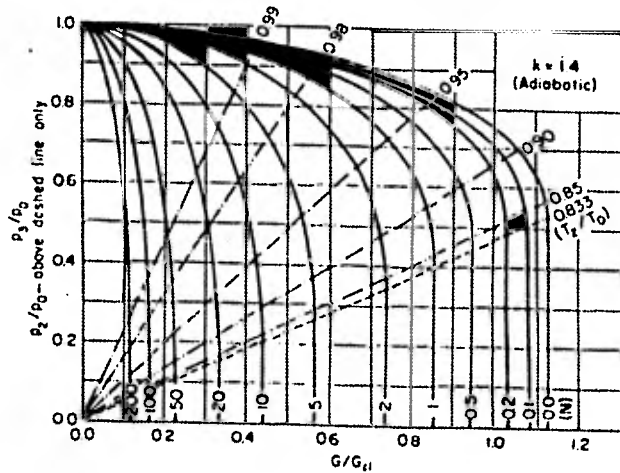
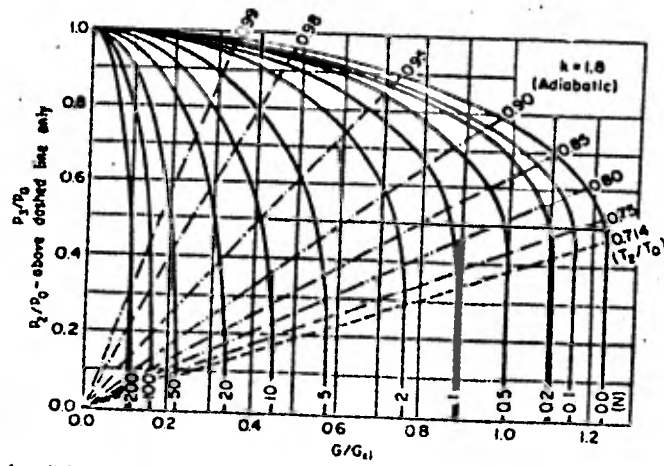


FIGURA 4.



FIGS. 5-29b and c. Design charts for adiabatic flow of compressible fluids through pipes at high pressure drops. [Lapple, Trans. Am. Inst. Chem. Engrs., 39, 385 (1943).]

FIGURA 5.

Table 5-19. Additional Frictional Loss for Turbulent Flow through Fittings and Valves^a

Type of Fitting or Valve	Additional Friction Loss, Equivalent No. of Velocity Heads, K
45-deg. ell, standard ^{a,b,c,d}	0.35
45-deg. ell, long radius ^b	0.3
90-deg. ell, standard ^{a,b,c,d,e}	0.75
Long radius ^{a,b,c,d}	0.45
Square or miter ^a	1.3
180-deg. bend, close return ^{a,b}	1.5
Tee, standard, along run, branch blanked off ^b	0.4
Used as ell, entering run ^{d,e}	1.0
Used as ell, entering branch ^{d,e}	1.0
Branching flow ^{f,g}	1 ^h
Coupling ^{a,d}	0.04
Union ^a	0.04
Gate valve ^{a,d} open	0.17
$\frac{1}{2}$ open ^a	0.9
$\frac{1}{4}$ open ^a	4.5
$\frac{1}{8}$ open ^a	24.0
Diaphragm valve ^a open	2.3
$\frac{1}{2}$ open ^a	2.6
$\frac{1}{4}$ open ^a	4.3
$\frac{1}{8}$ open ^a	21.0
Globe valve ^{a,d} bevel seat, open	6.0
$\frac{1}{2}$ open ^a	9.5
Composition seat, open	6.0
$\frac{1}{2}$ open ^a	6.5
Plug disk, open	9.0
$\frac{1}{2}$ open ^a	13.0
$\frac{1}{4}$ open ^a	30.0
$\frac{1}{8}$ open ^a	112.0
Angle valve ^{a,d} open	2.0
Y or blowoff valve ^{a,d} open	3.0
Plug cock ^a (Fig. 5-39) $\theta = 5^\circ$	0.02
10°	0.29
20°	1.56
40°	17.3
60°	200.0
Butterfly valve ^a (Fig. 5-40) $\theta = 5^\circ$	0.24
10°	0.52
20°	1.54
40°	10.8
60°	118.0
Check valve ^{a,d} swing	2.0 ⁱ
Disk	10.0 ⁱ
Ball	70.0 ⁱ
Foot valve ^a	15.0
Water meter, disk	7.0 ^j
Piston	15.0 ^j
Rotary (star-shaped disk)	10.0 ^j
Turbine-wheel	0.0 ^j

^aFlow of Fluids through Valves, Fittings, and Pipe, *Tech. Paper 410*, Crane Co., 1969.
^bFreetman, "Experiments upon the Flow of Water in Pipes and Pipe Fittings," American Society of Mechanical Engineers, New York, 1941.
^cGilman, "Hydraulics and Its Applications," 5th ed., p. 250, Constable, London, 1952.
^dCieseeke and Budgett, *Heating, Piping Air Conditioning*, 6(6), 443-447 (1932).
^eCieseeke, *J. Am. Soc. Heat Vent. Engrs.*, 32, 401 (1920).
^fGilman, *Heating, Piping Air Conditioning*, 27(4), 141-147 (1955).
^g"Pipe Friction Manual," 3d ed., Hydraulic Institute, New York, 1961.
^hHampus, Isakoff, Clarke, and Drew, *Chem. Eng. Progr.*, 44, 601-606 (1946).

FIGURA 6.

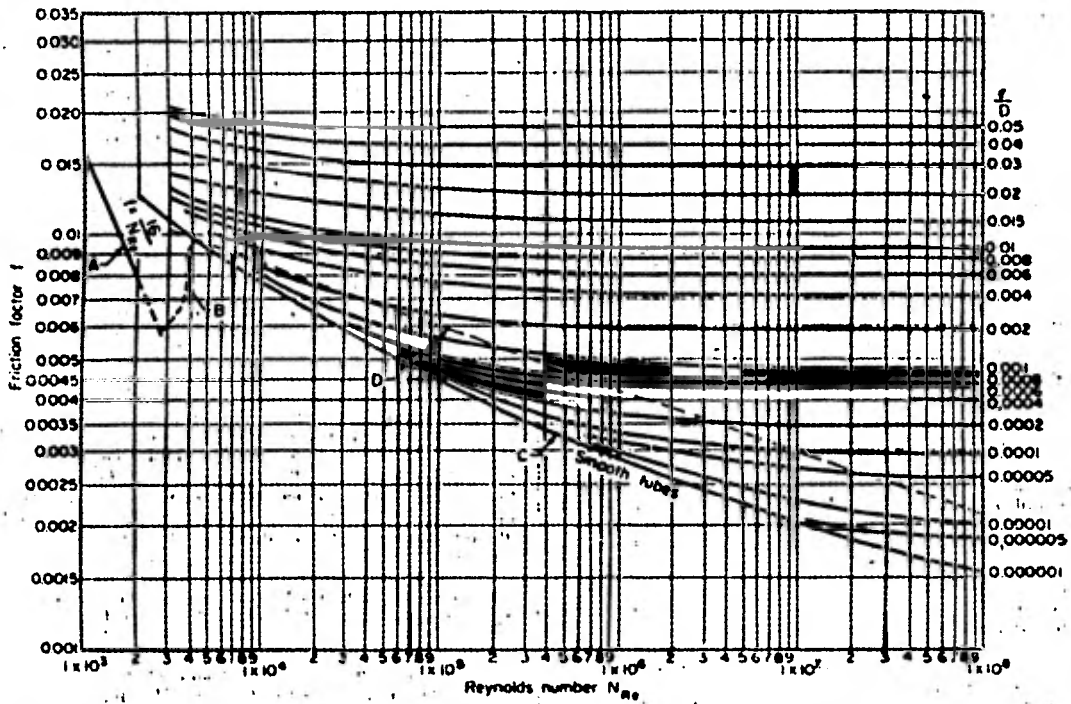


Fig. 5-26. Finding friction factors. Reynolds number $N_{Re} = DV\rho/\mu$, where D = pipe diameter, ft.; V = velocity, ft./sec.; ρ = fluid density, lb./cu. ft.; μ = fluid viscosity, lb./ft.(sec.) = cp./1489. [Based on Moody, Trans. Am. Soc. Mech. Engrs., 66, 671 (1914).]

FIGURA 7.

REFERENCIAS BIBLIOGRAFICAS

- 1).- Lothholz W. Klaus; "Pressure Drop in Long Viscous-Fluid Pipelines". Chemical Engineering, Jan. 7, -- 1963.
- 2).- Peters-Timmerhaus; "Plant Design and Economics for Chemical Engineers". Mc Graw-Hill, 2a. Ed.
- 3).- Bennett-Myers; "Momentum, Heat and Mass Transfer". Mc Graw-Hill, 2a. Ed.
- 4).- Harvery-Briller-Arnold; "Pipelining oils below -- their pour point". The Oil and Gas Journal; Aug.- 23, 1971.
- 5).- Garcia Ramos, B.; "Diseño y optimización de la tubería y sistema de bombeo del oleoducto Poza Rica - Tula". Tesis UNAM, 1976.

- 6).- Crane Co.; "Flow of fluids through valves fittings and pipe". Technical paper No. 410, 1969.
- 7).- Perry-Chilton; "Chemical Engineers Handbook", McGraw-Hill, 5a. Ed.
- 8).- Merriman M. Gaylord; "Matemática Simplificada", Espasa-Calpe; primera edición.
- 9). Kreyszig E.; "Matemáticas Avanzadas para Ingeniería". Vol. 1, LIMUSA, 3a. Ed.
- 10).- Bers; "Cálculo Diferencial e Integral", Vol. 1, Interamericana 1a. Ed.
- 11).- Foust, Wenzel, Clump, Maus, Andersen; "Principles of Unit Operations", John Wiley and Sons Inc. 2a. Ed.